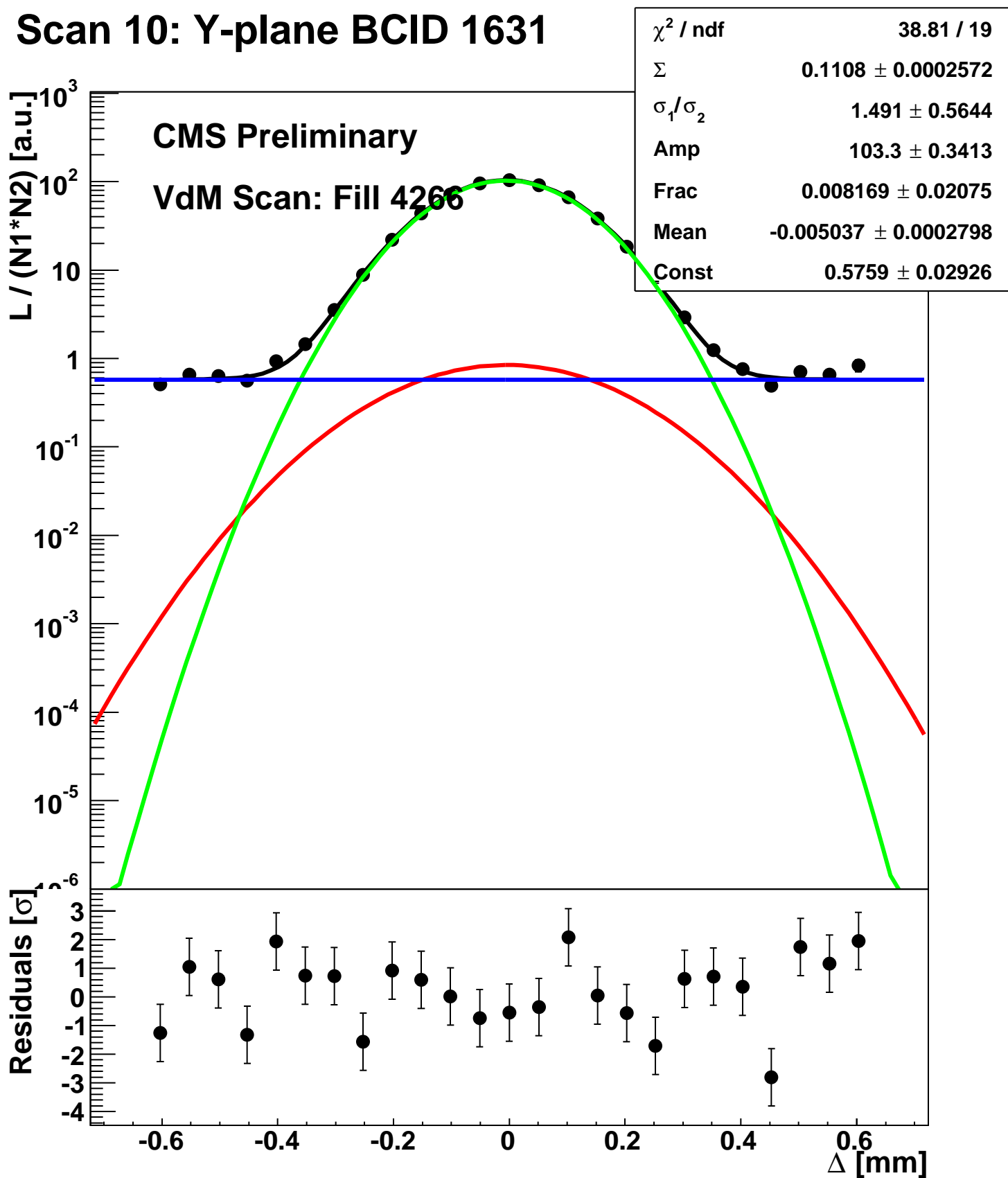
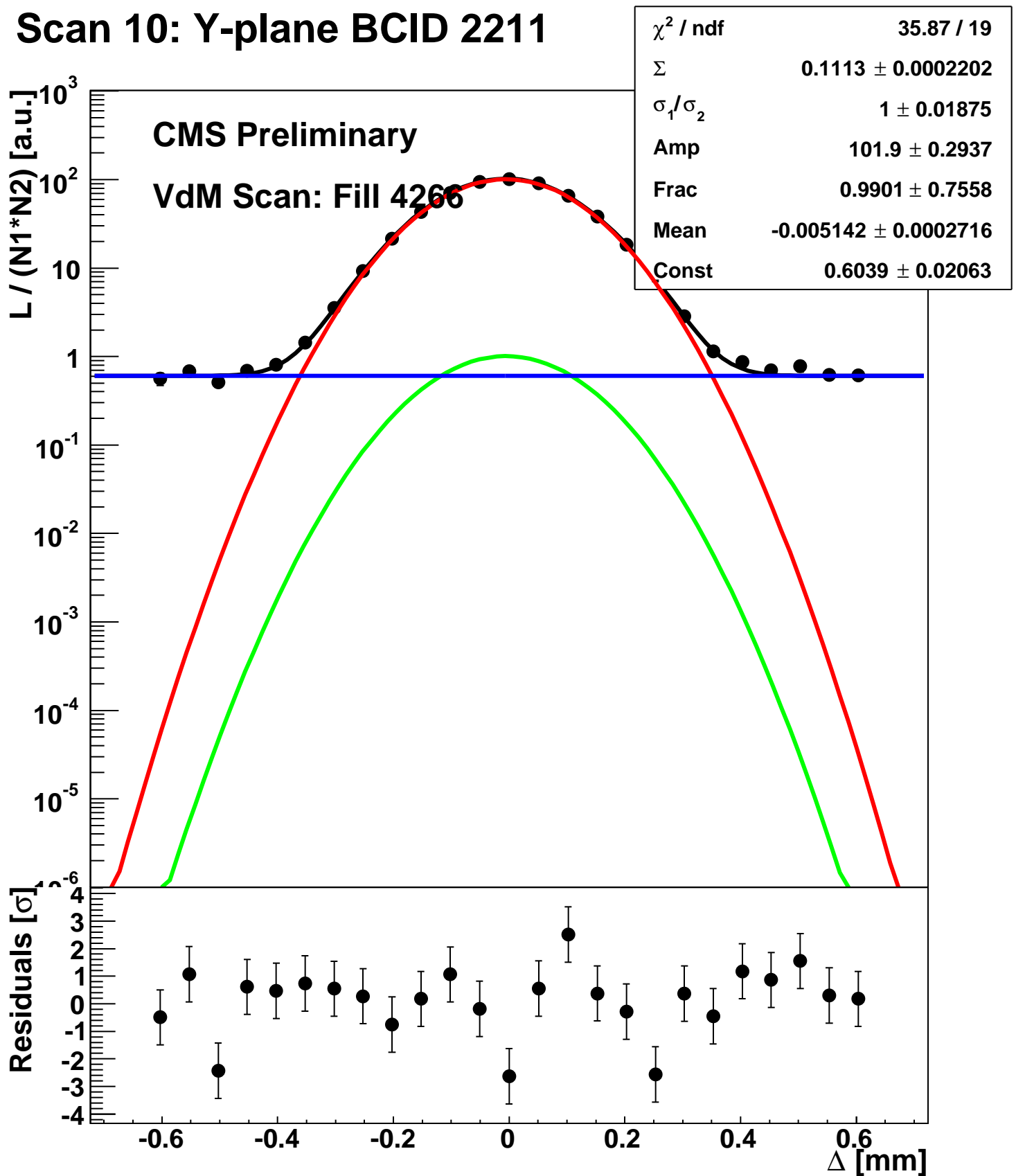


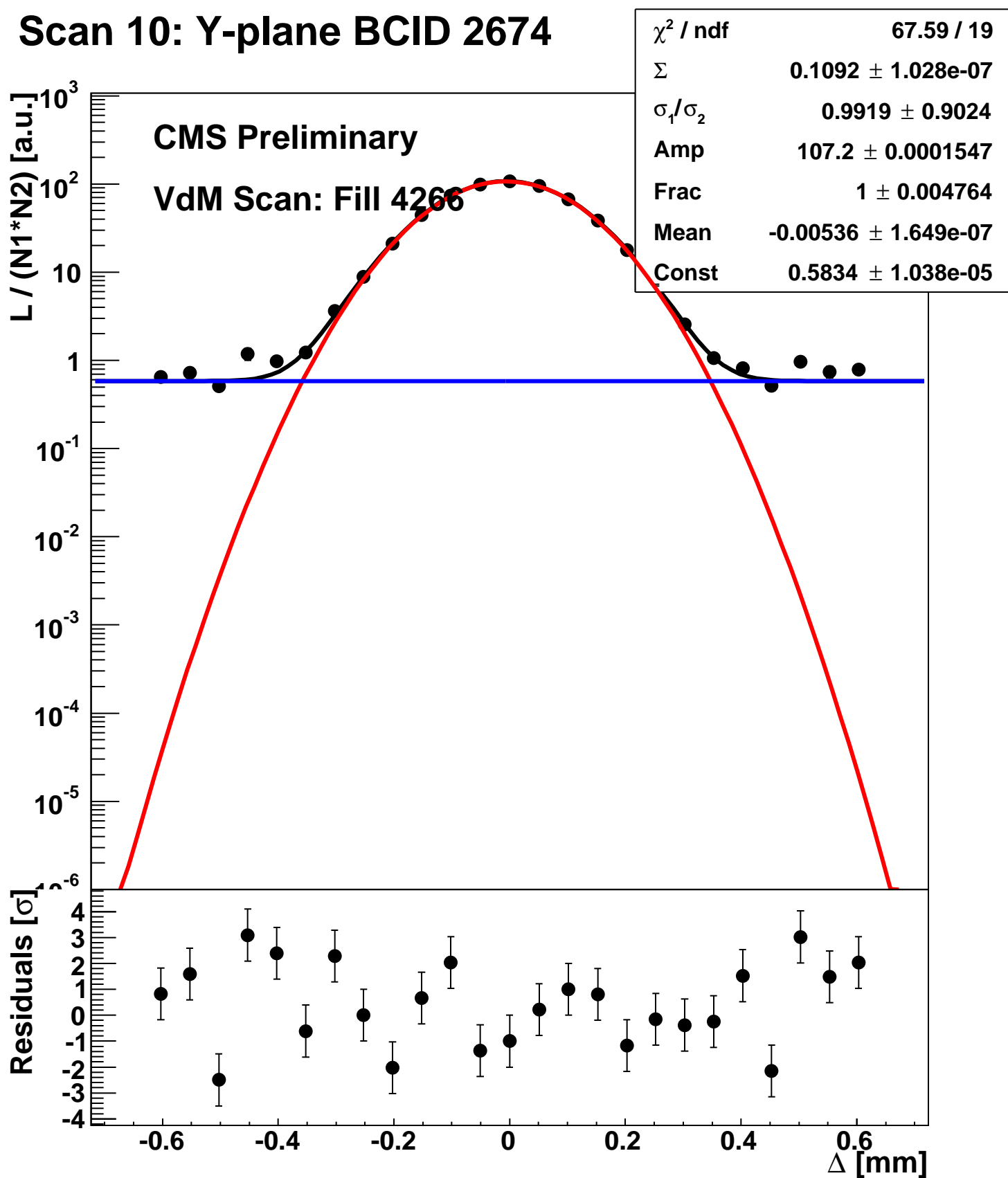
Scan 10: Y-plane BCID 1631



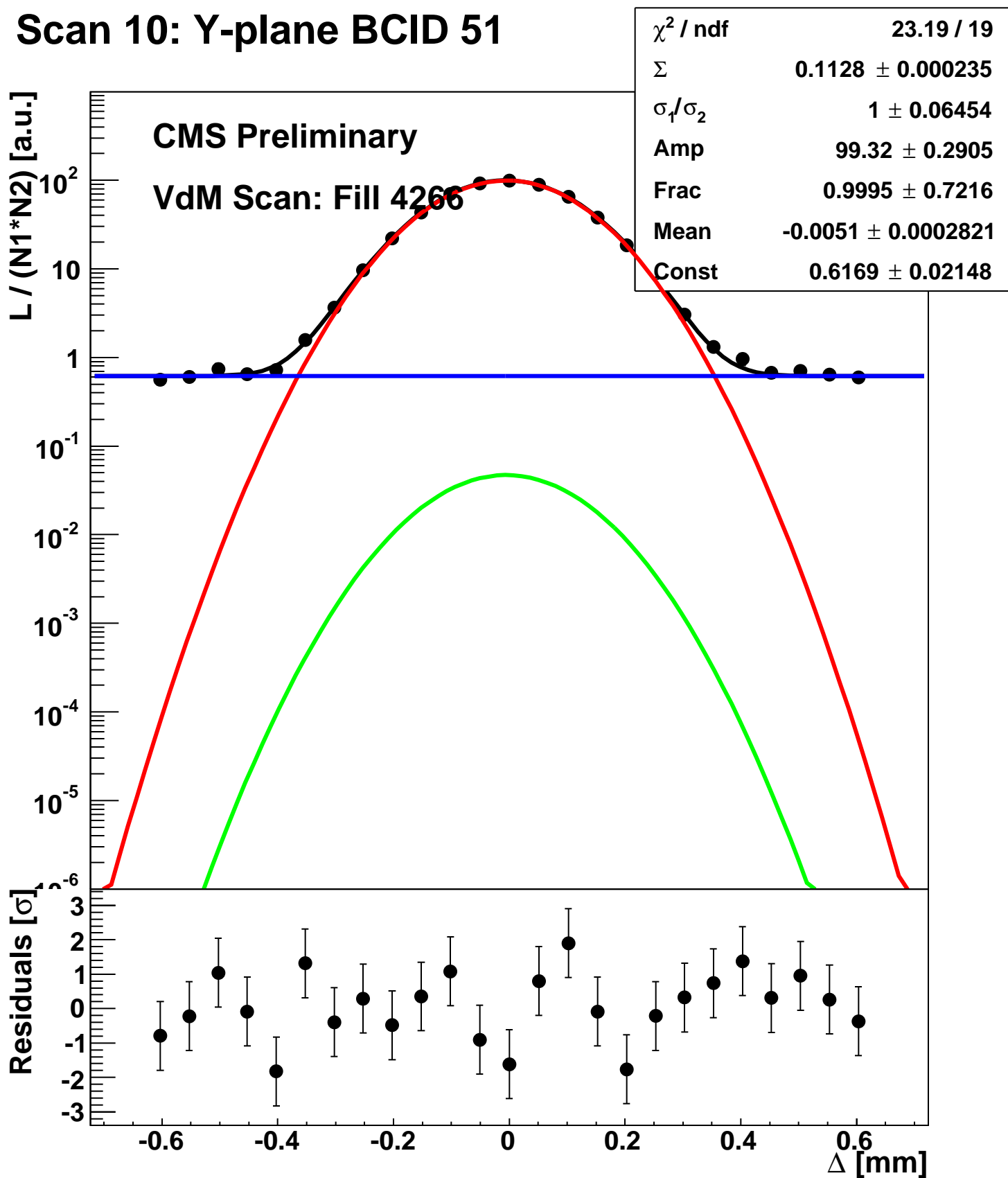
Scan 10: Y-plane BCID 2211



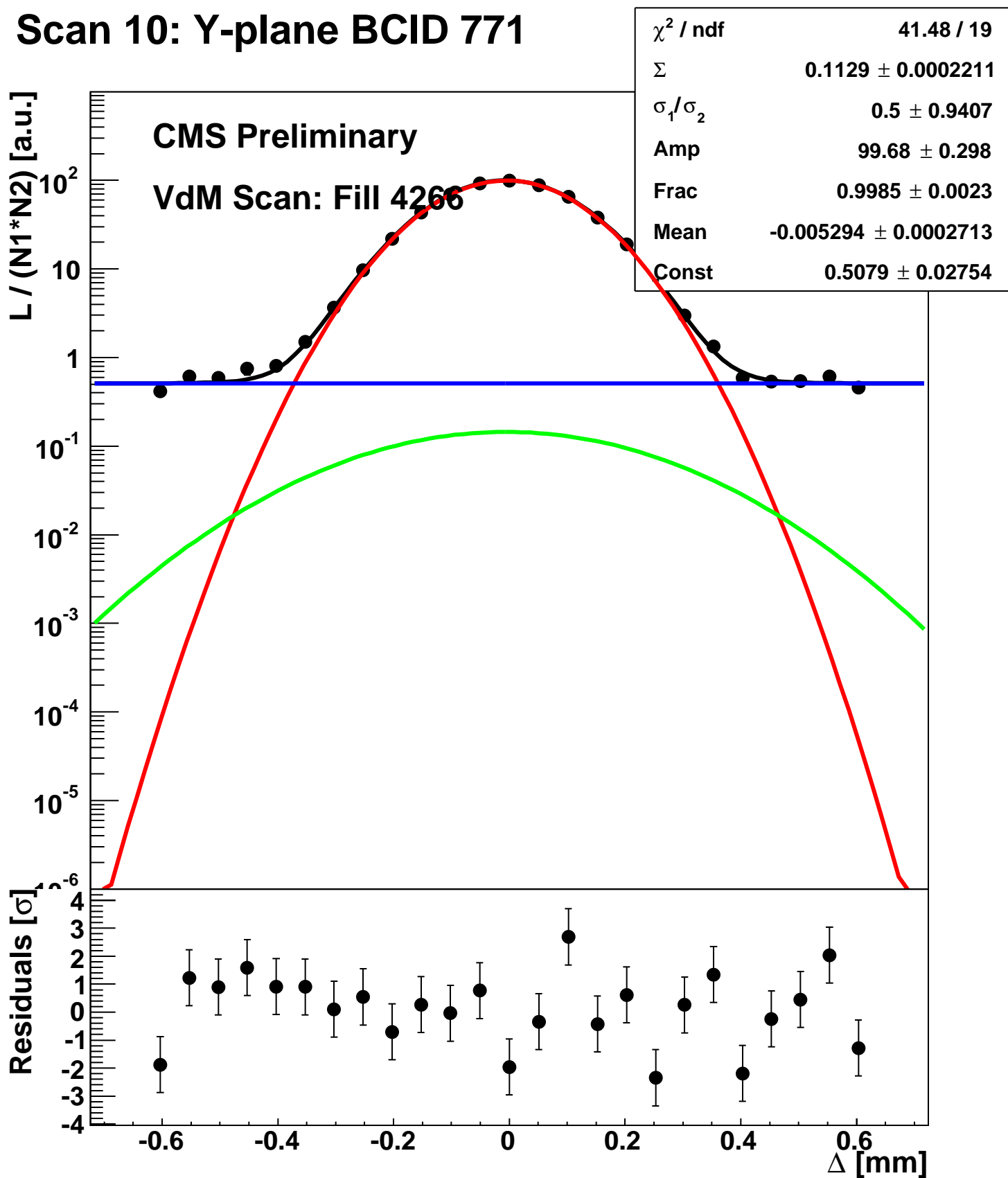
Scan 10: Y-plane BCID 2674



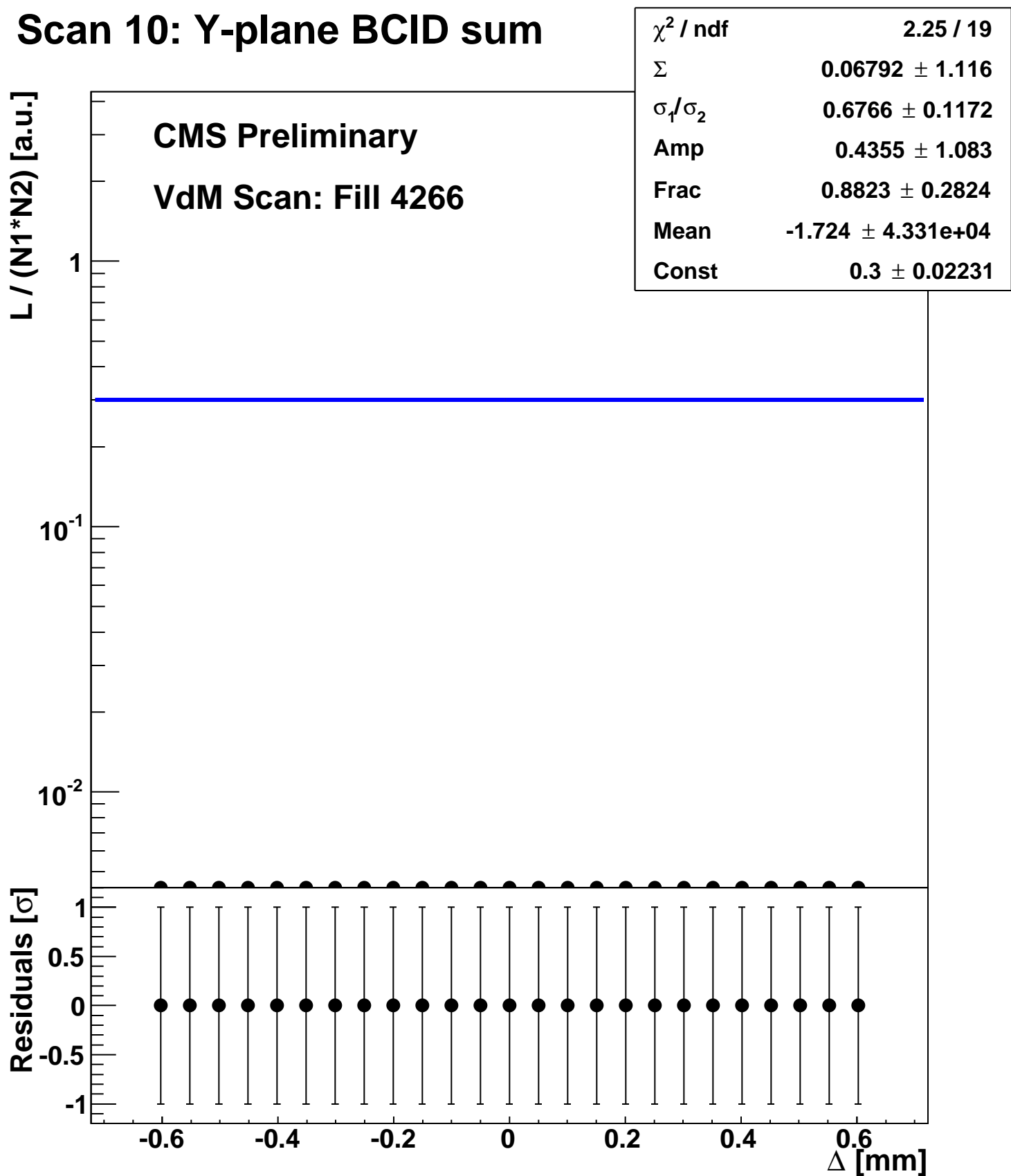
Scan 10: Y-plane BCID 51



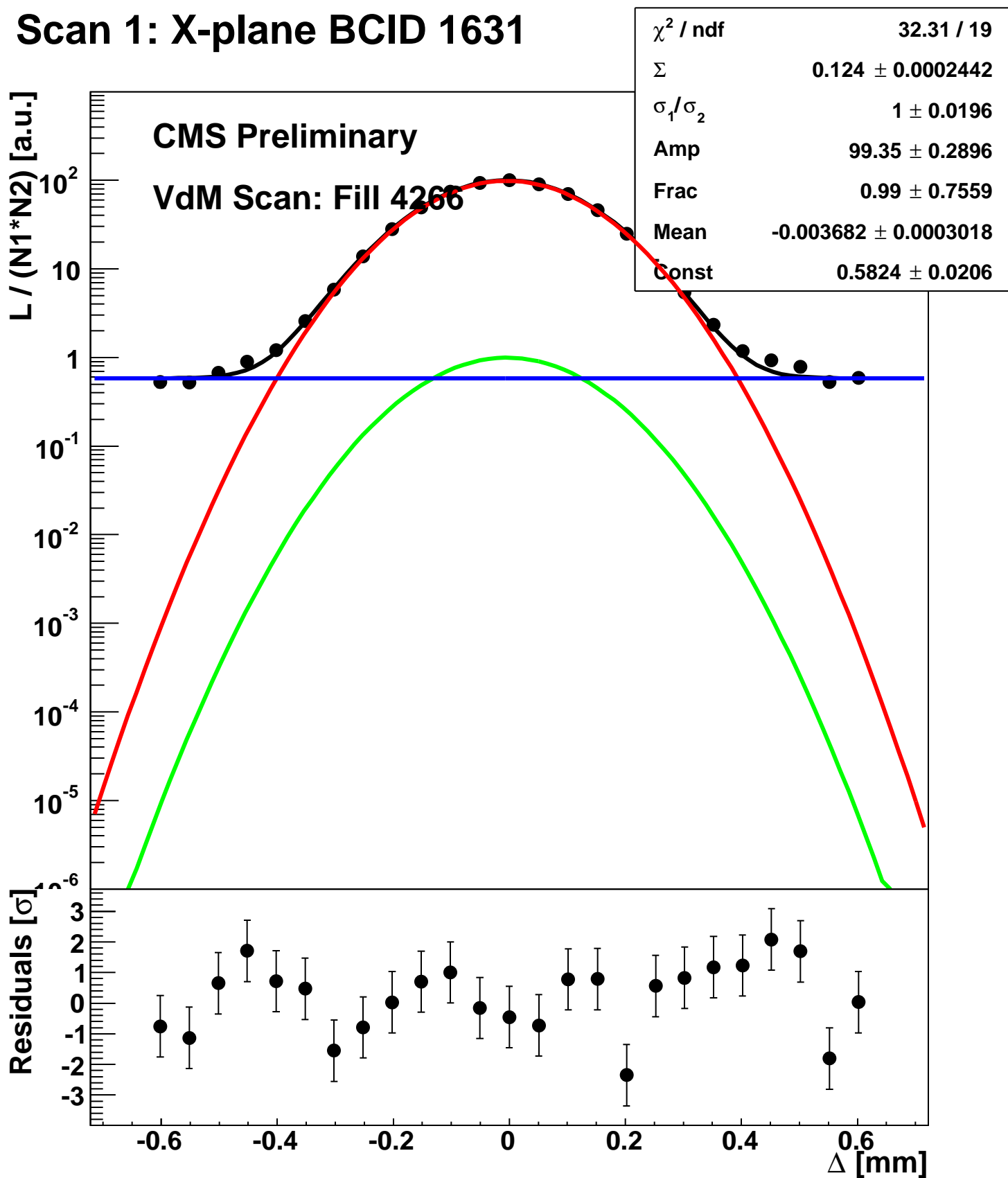
Scan 10: Y-plane BCID 771



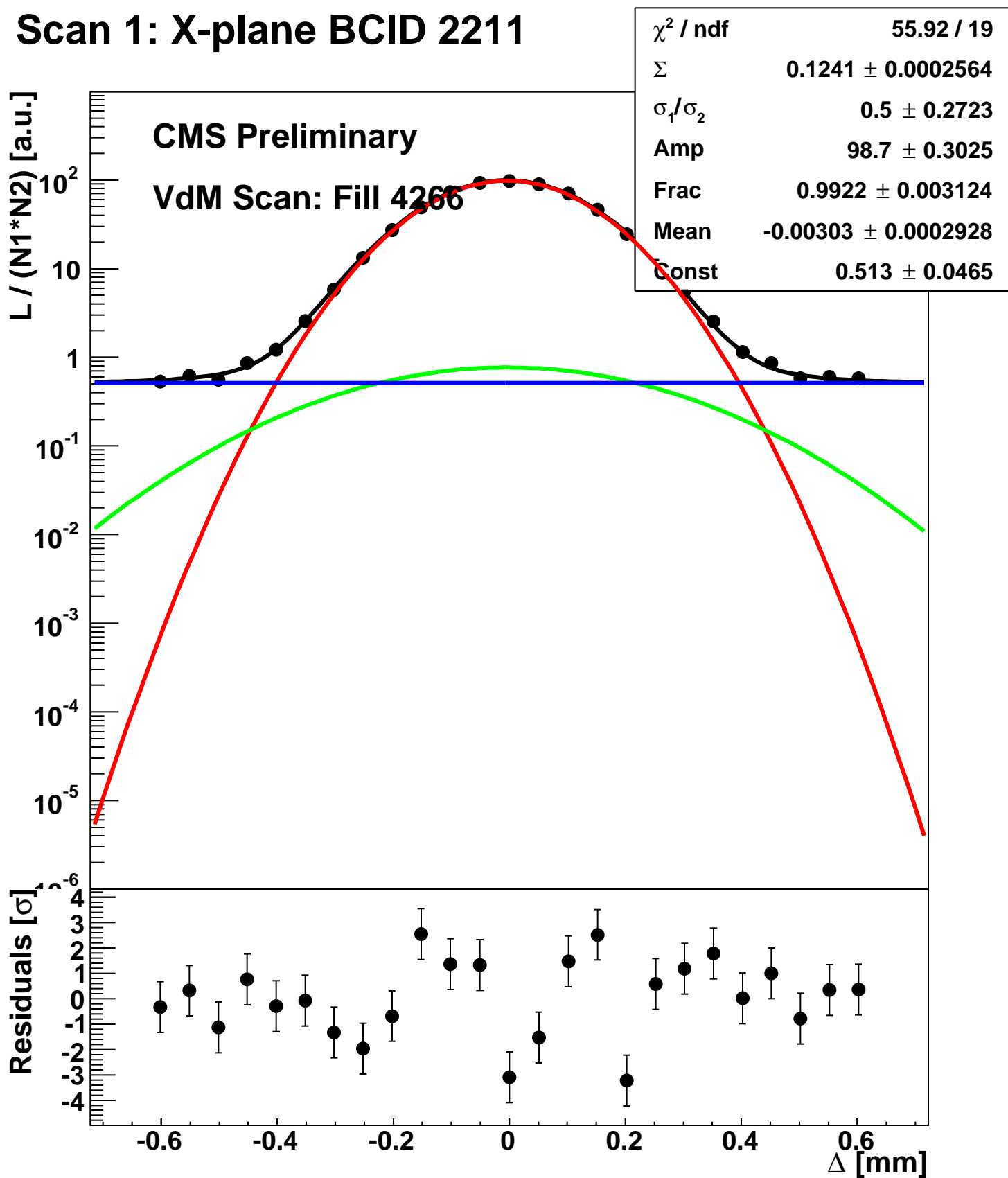
Scan 10: Y-plane BCID sum



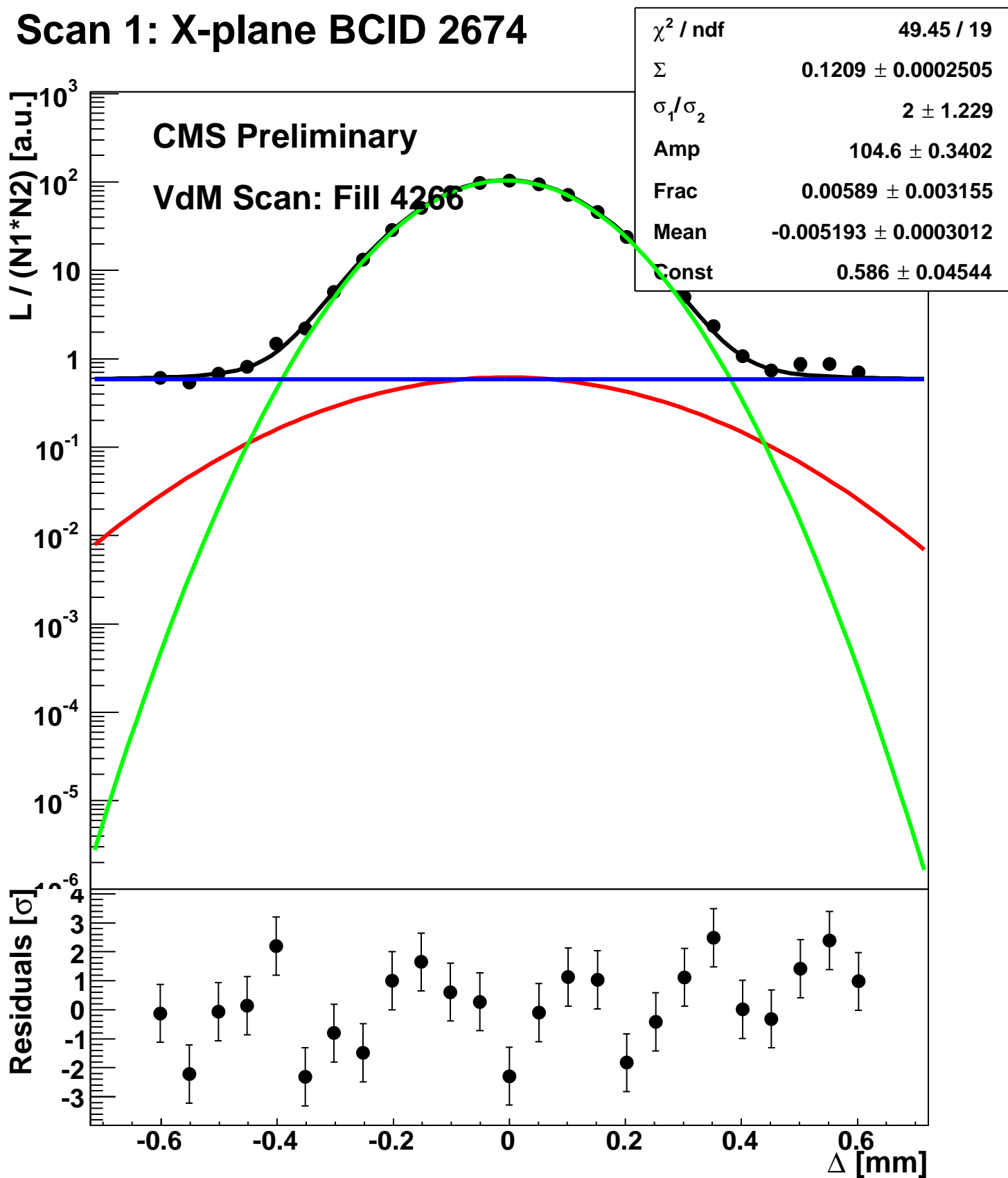
Scan 1: X-plane BCID 1631



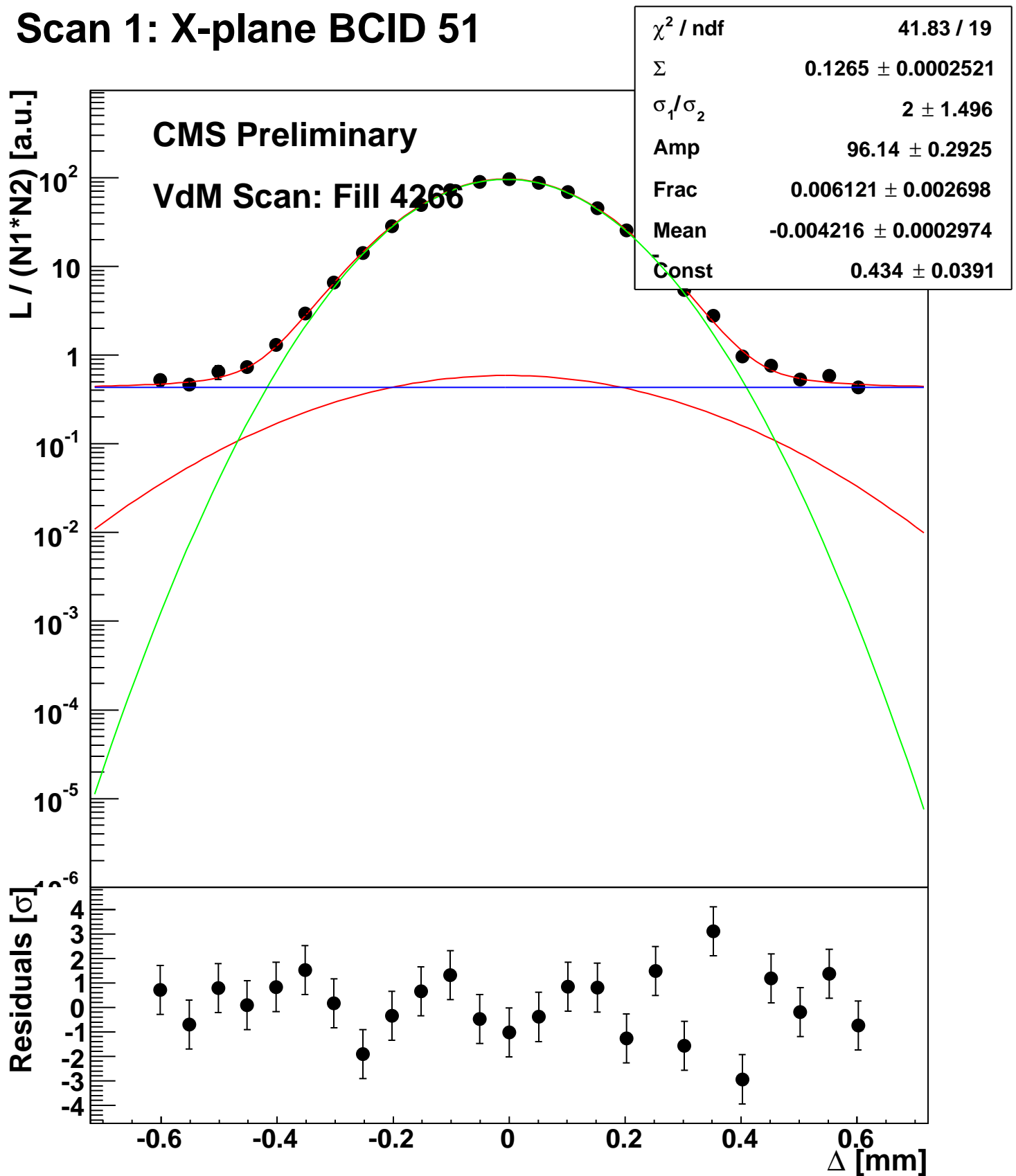
Scan 1: X-plane BCID 2211



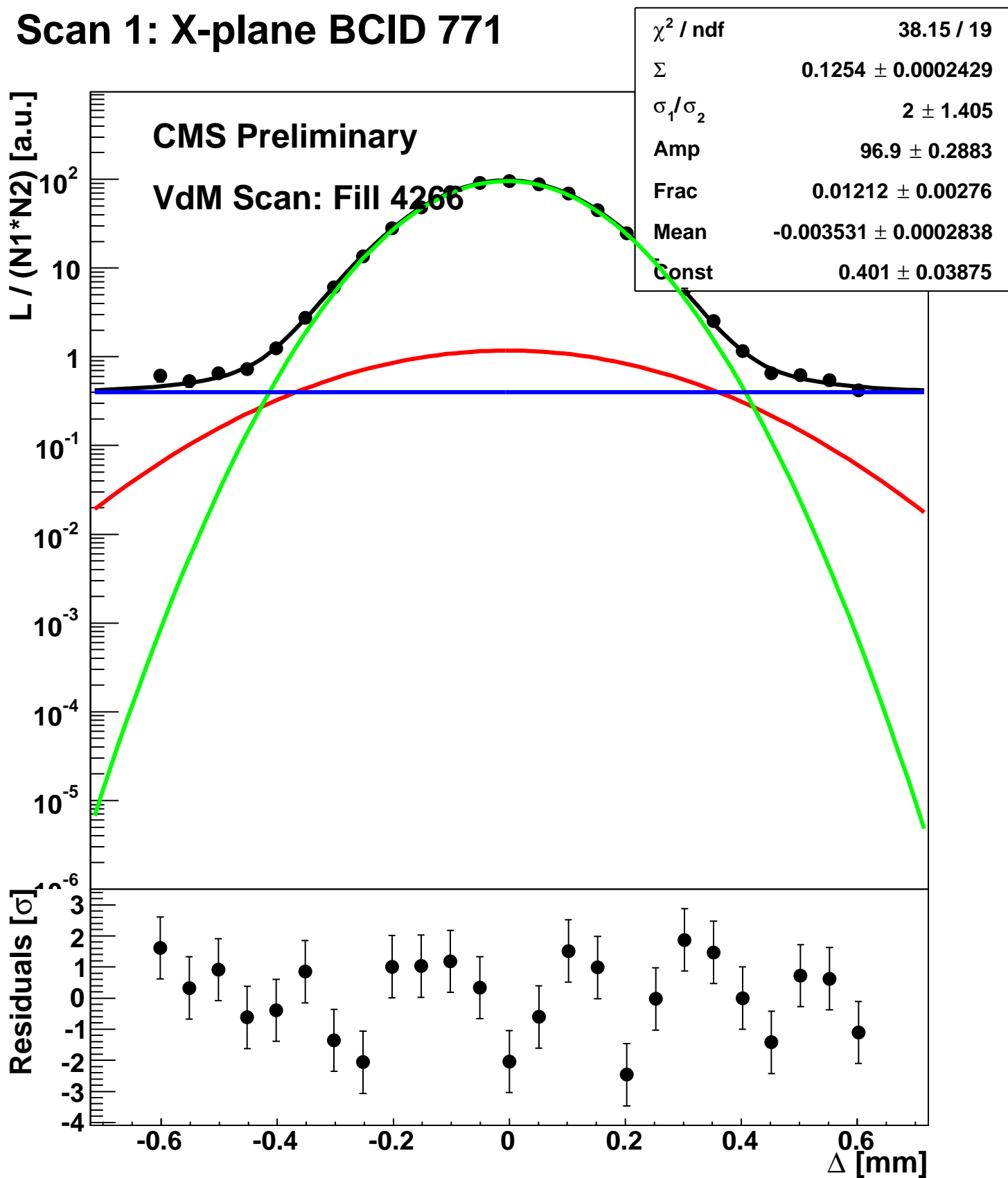
Scan 1: X-plane BCID 2674



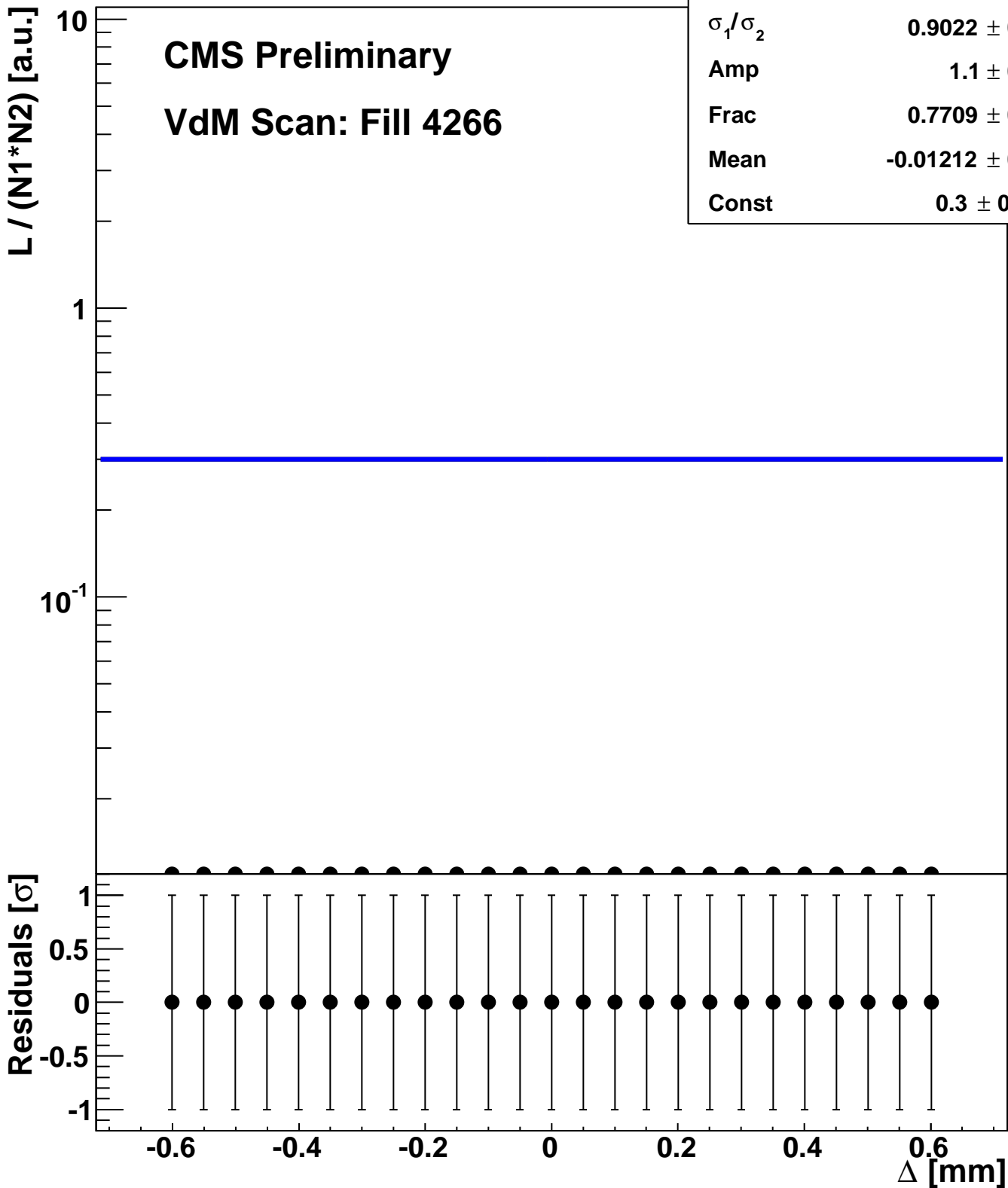
Scan 1: X-plane BCID 51



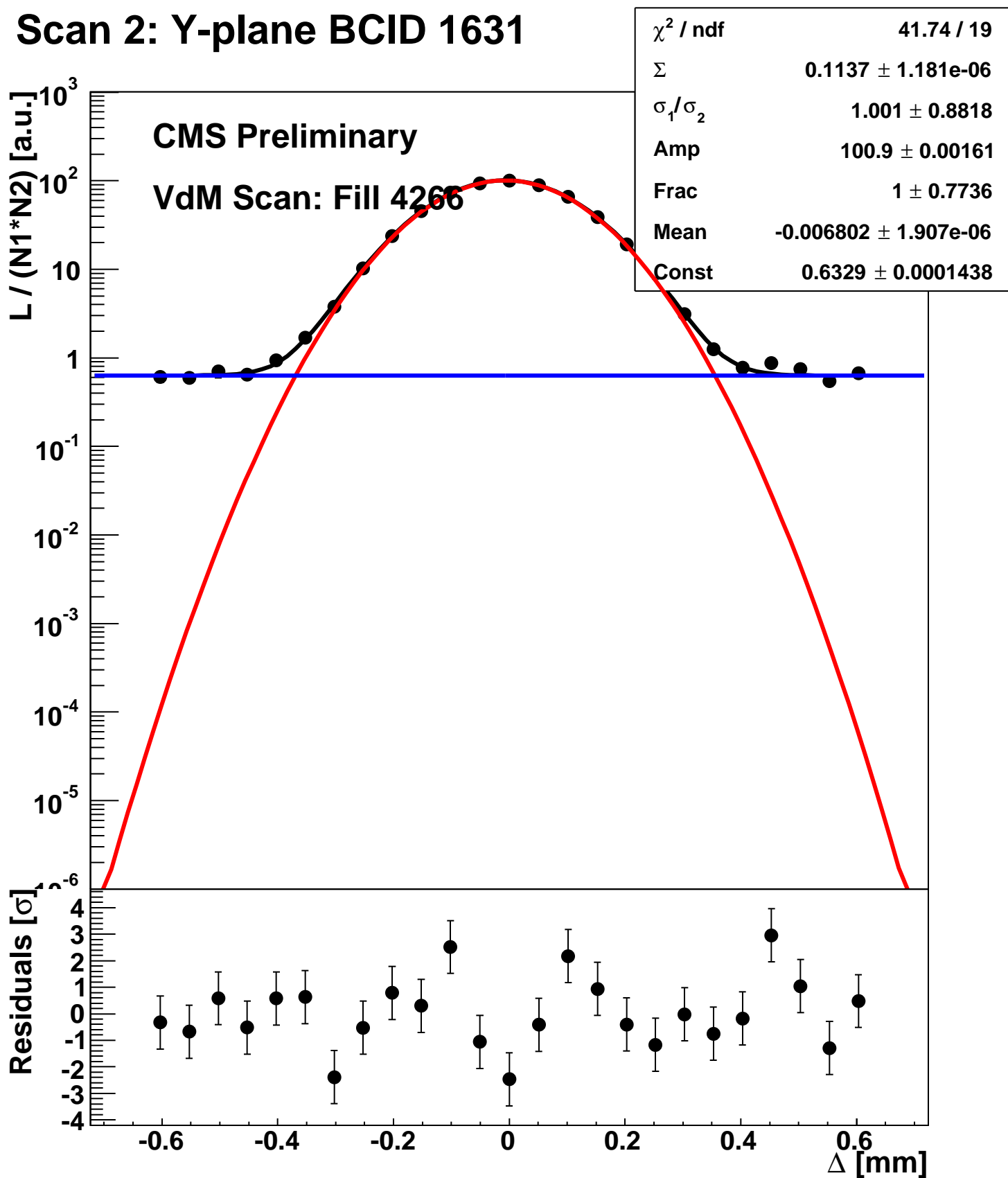
Scan 1: X-plane BCID 771



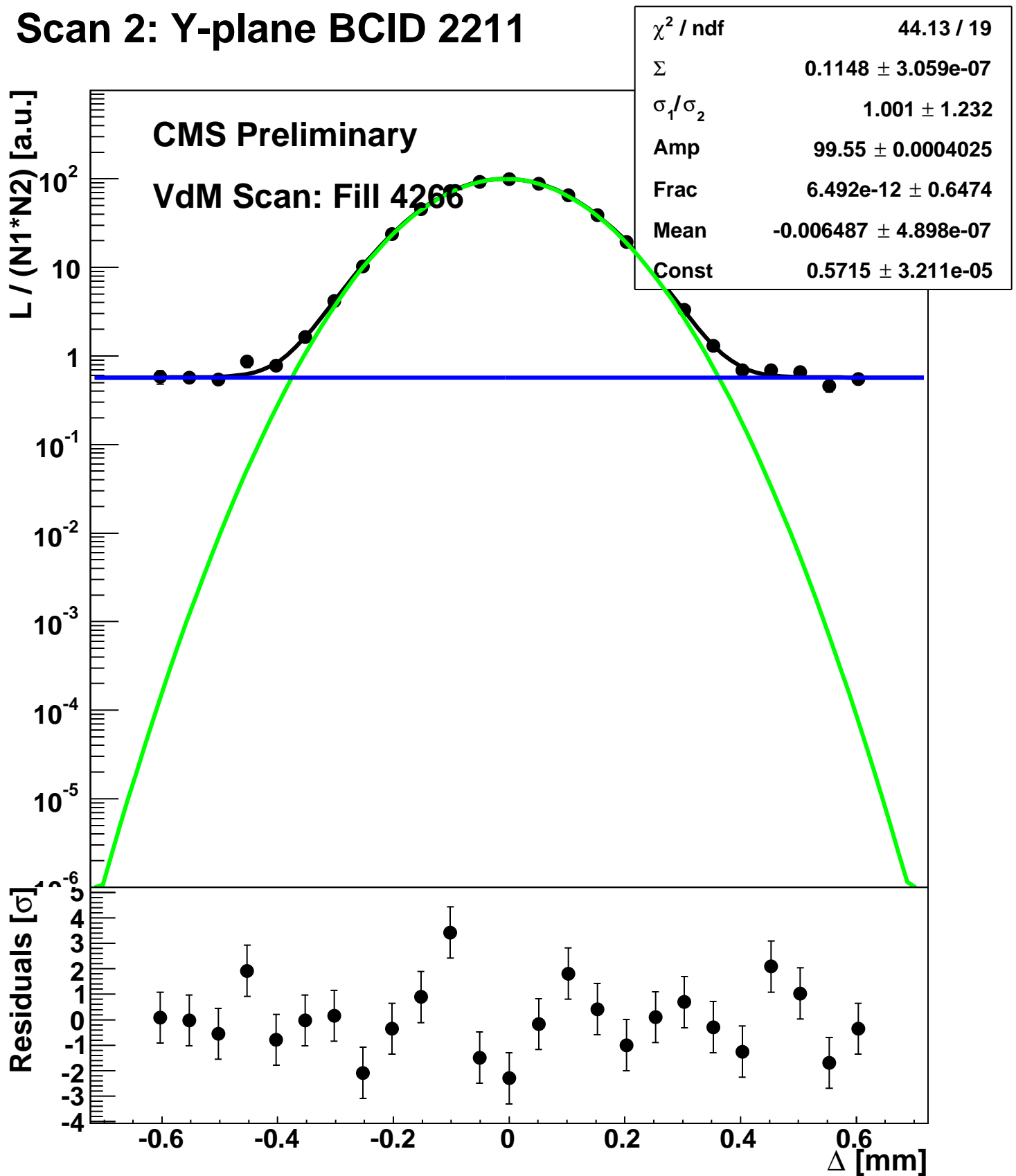
Scan 1: X-plane BCID sum



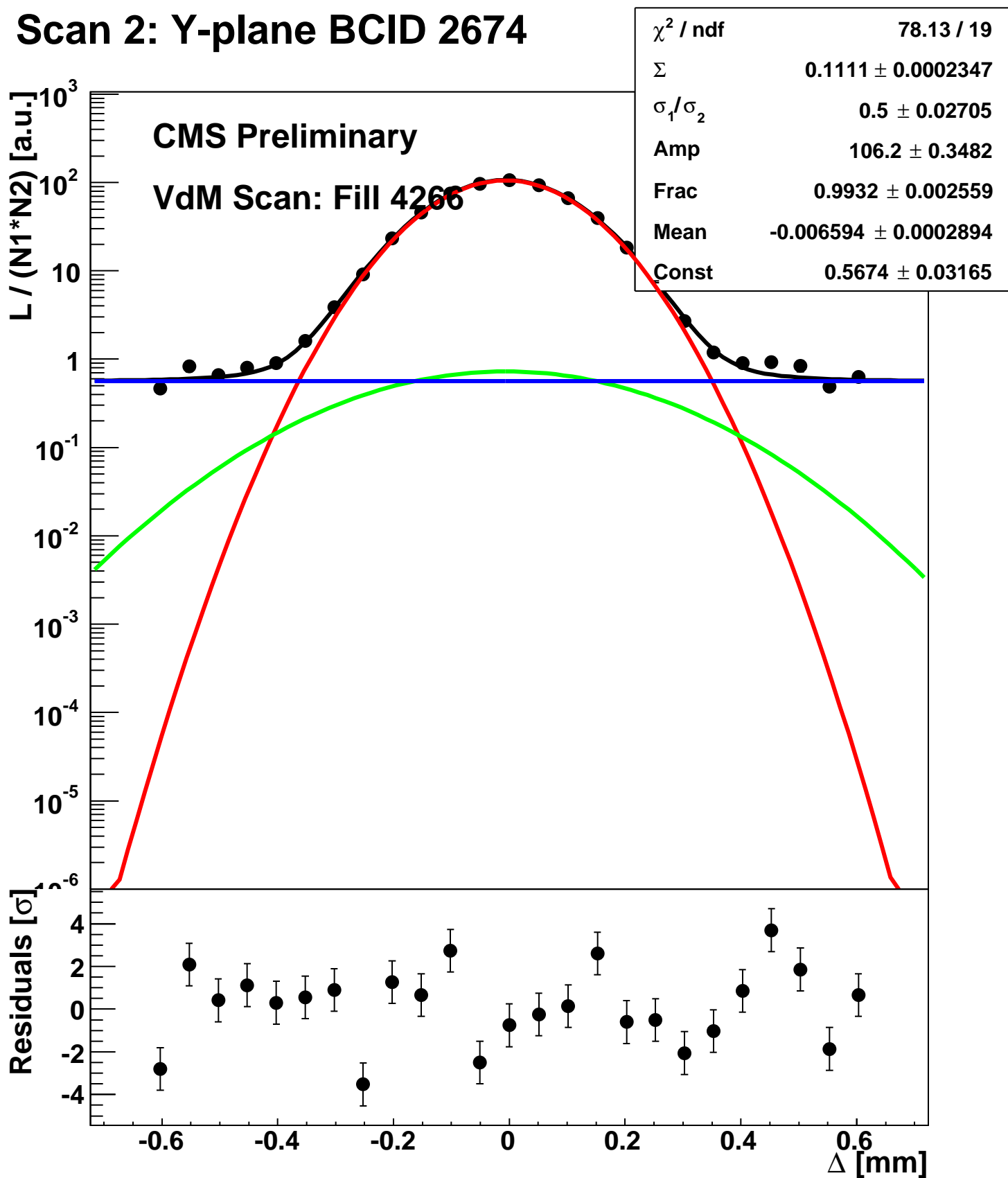
Scan 2: Y-plane BCID 1631



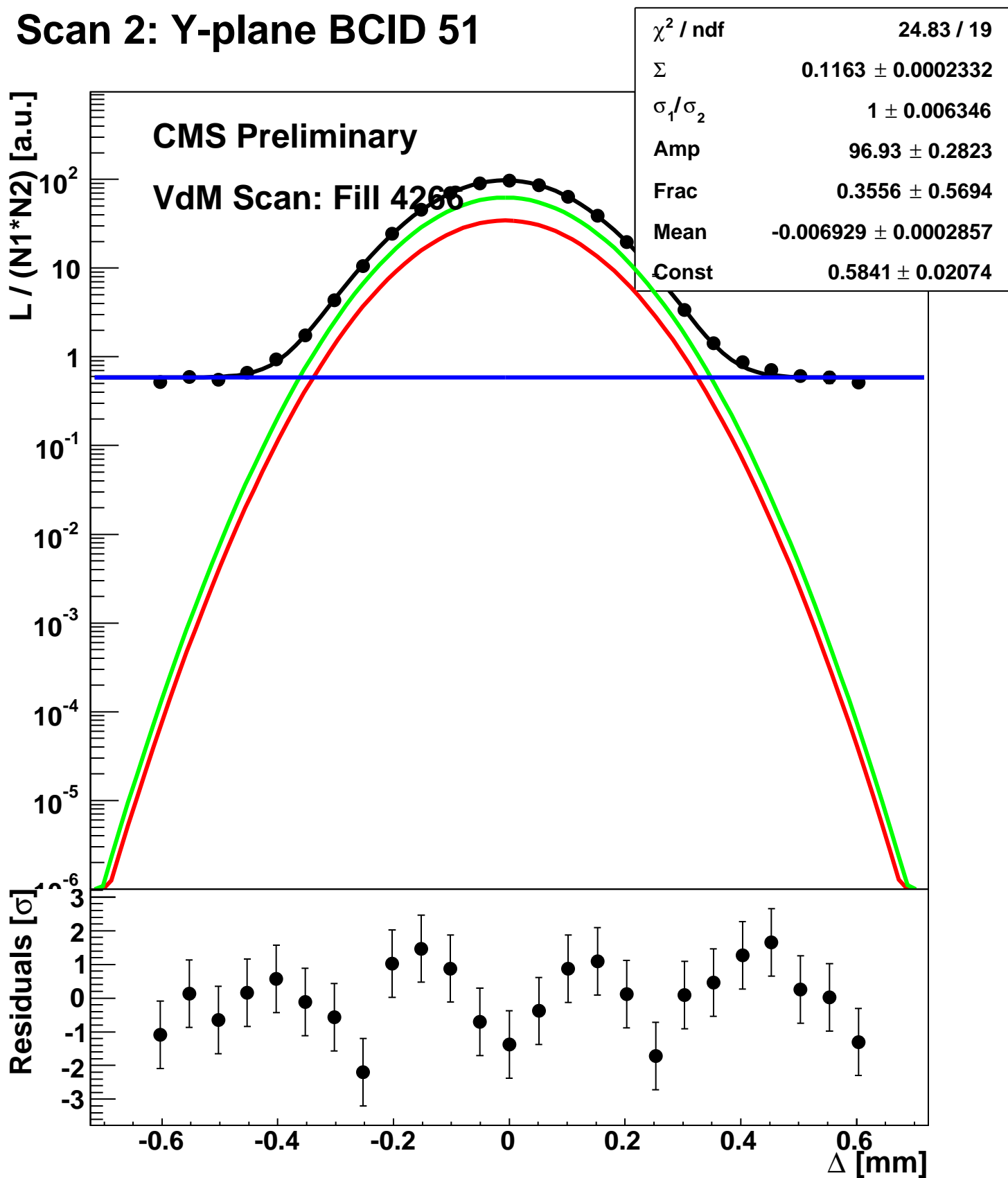
Scan 2: Y-plane BCID 2211



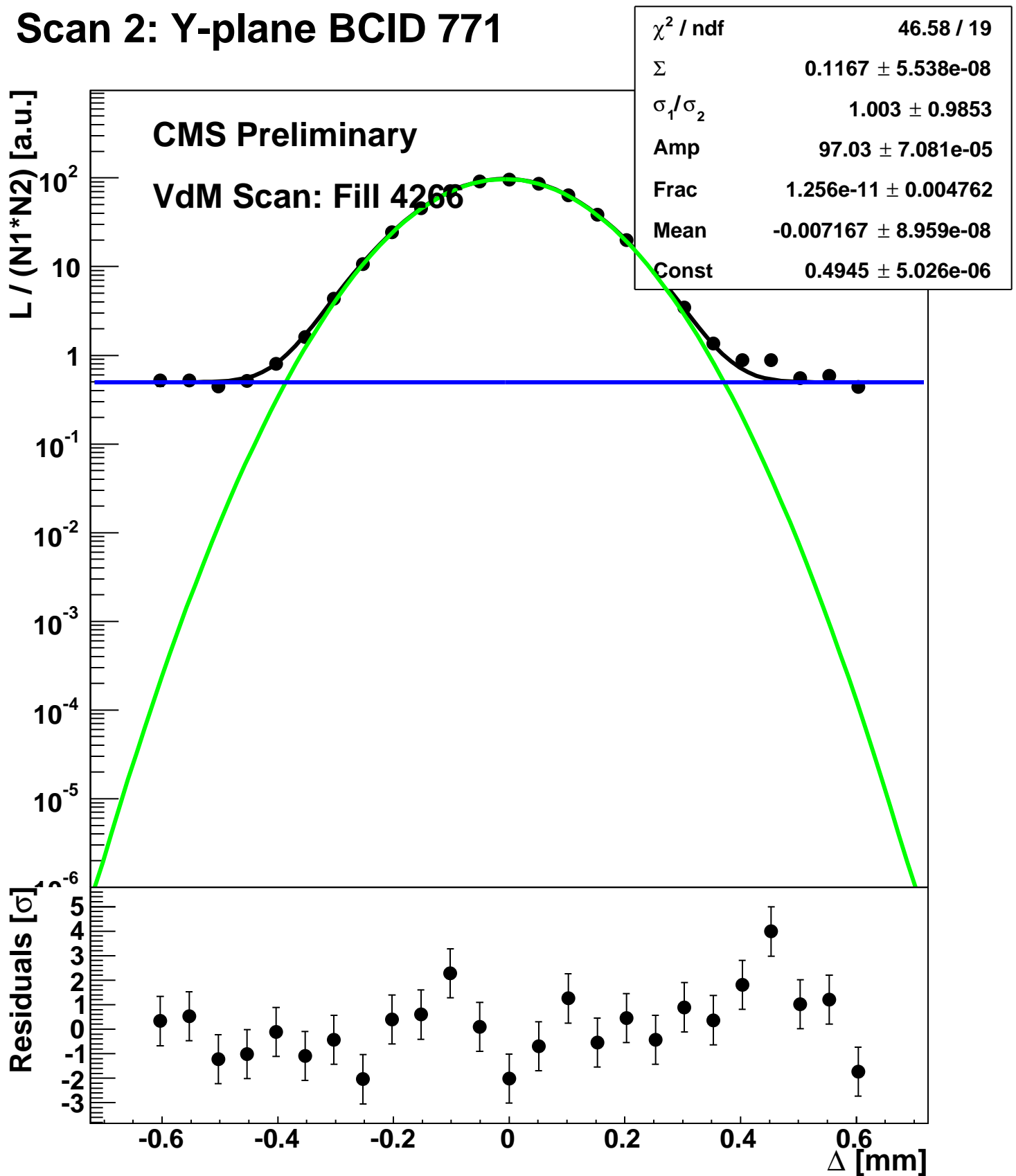
Scan 2: Y-plane BCID 2674



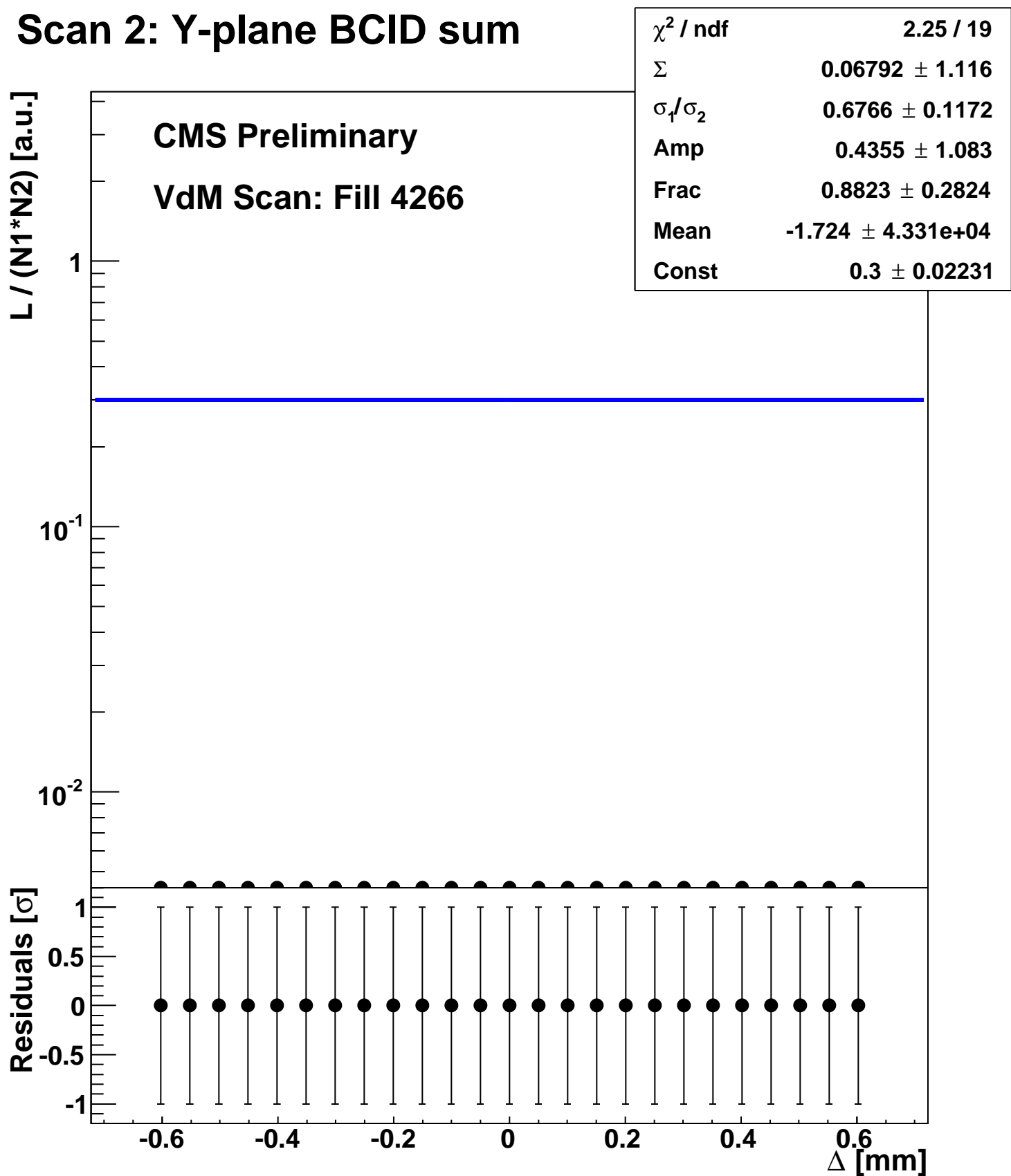
Scan 2: Y-plane BCID 51



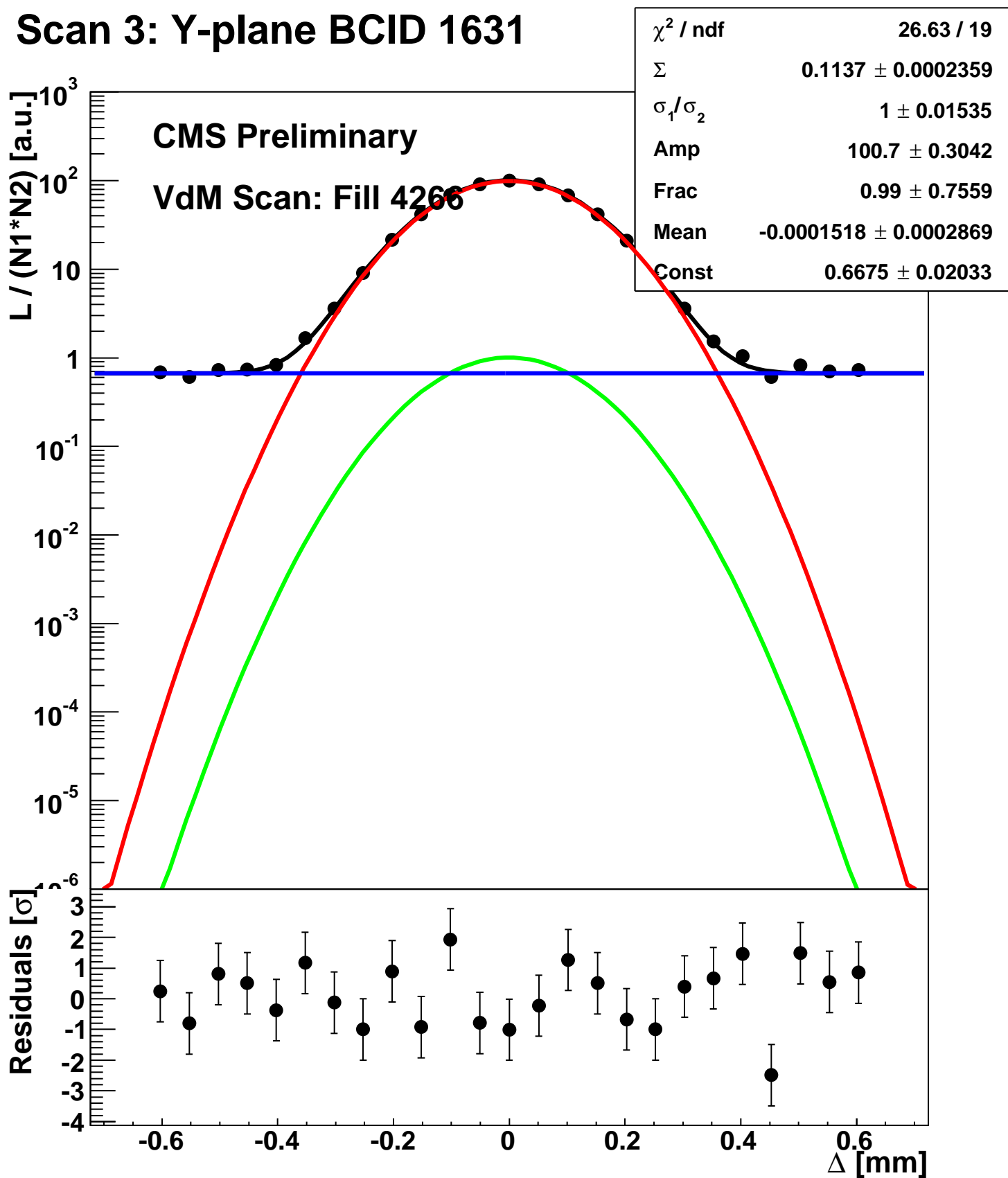
Scan 2: Y-plane BCID 771



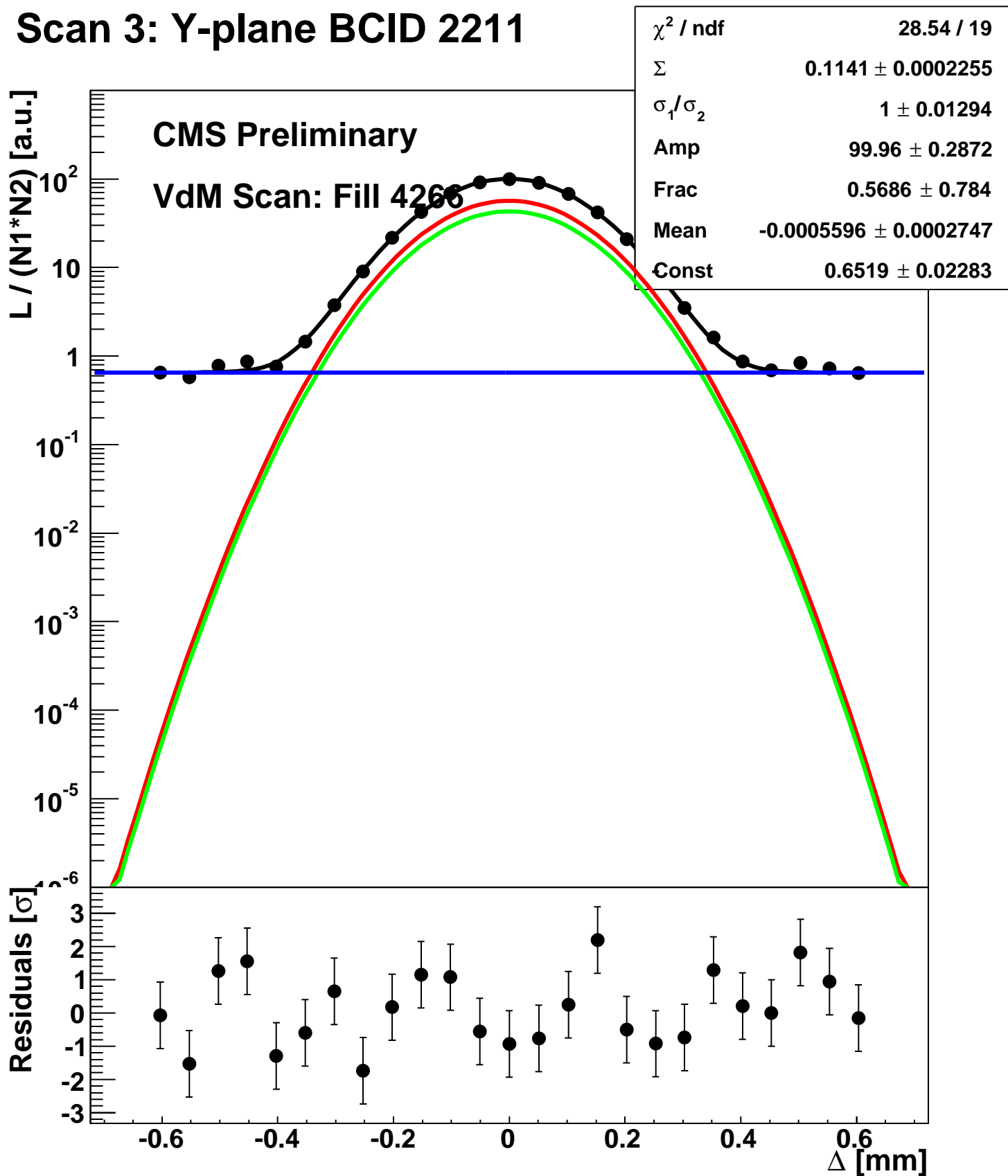
Scan 2: Y-plane BCID sum



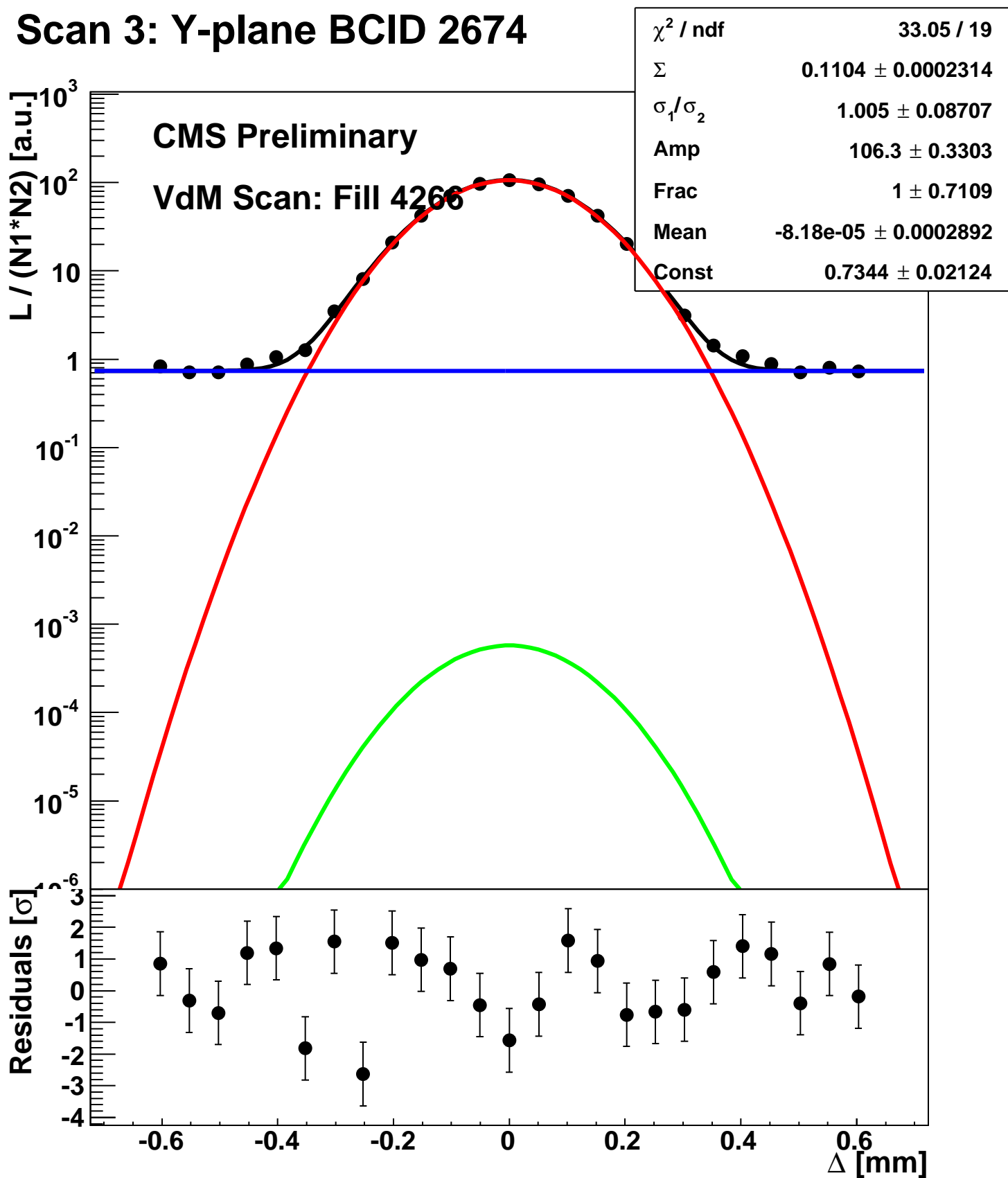
Scan 3: Y-plane BCID 1631



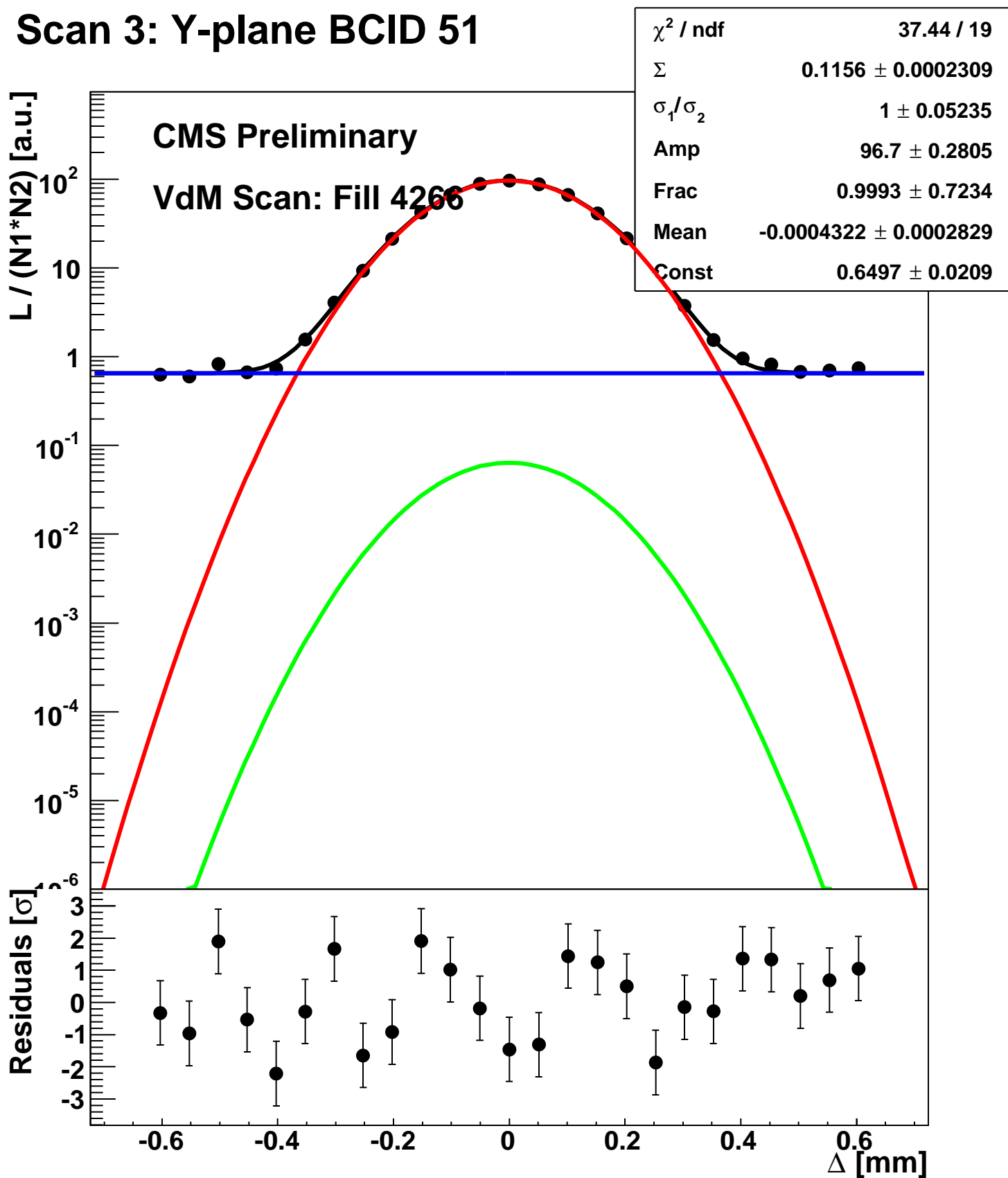
Scan 3: Y-plane BCID 2211



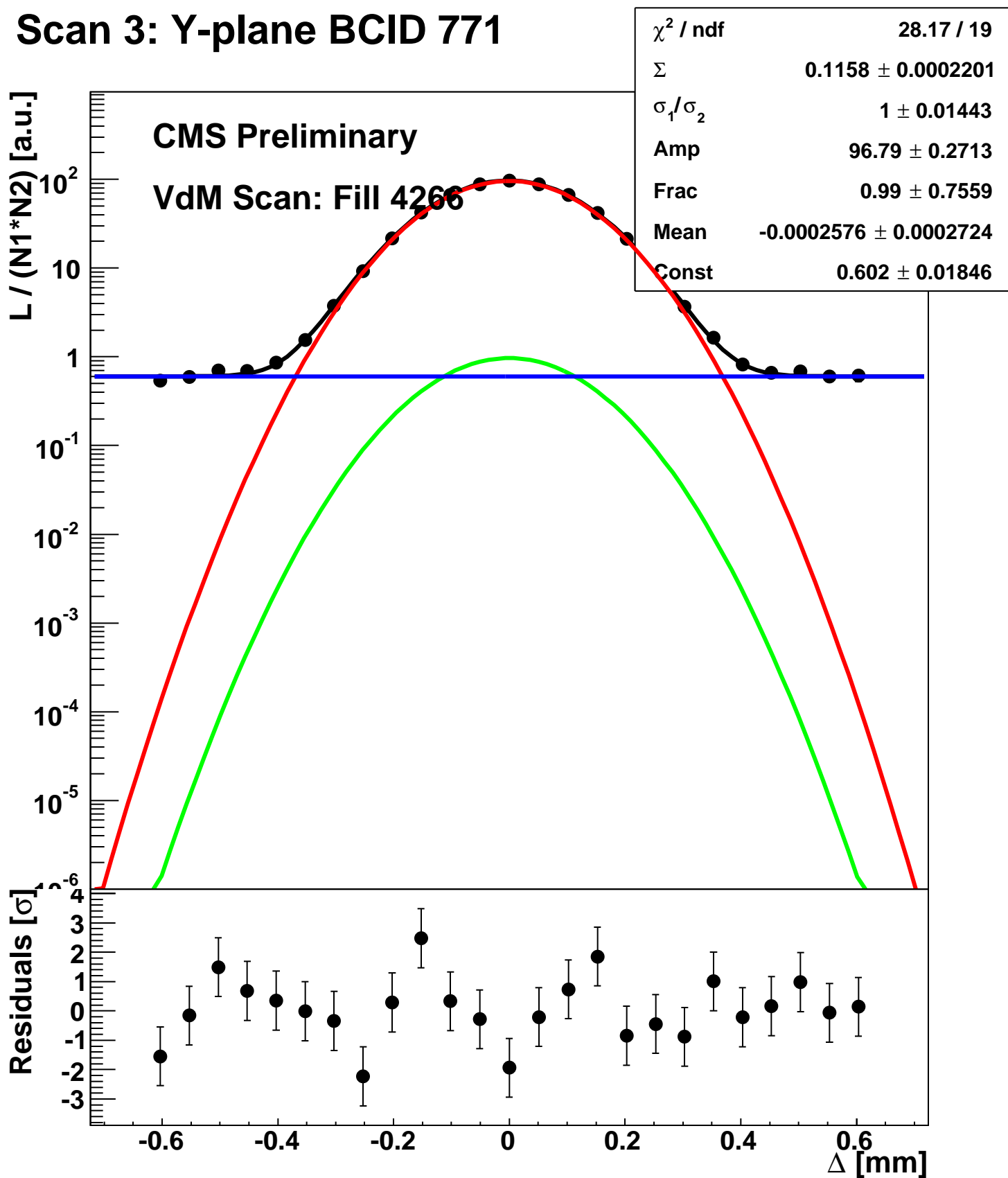
Scan 3: Y-plane BCID 2674



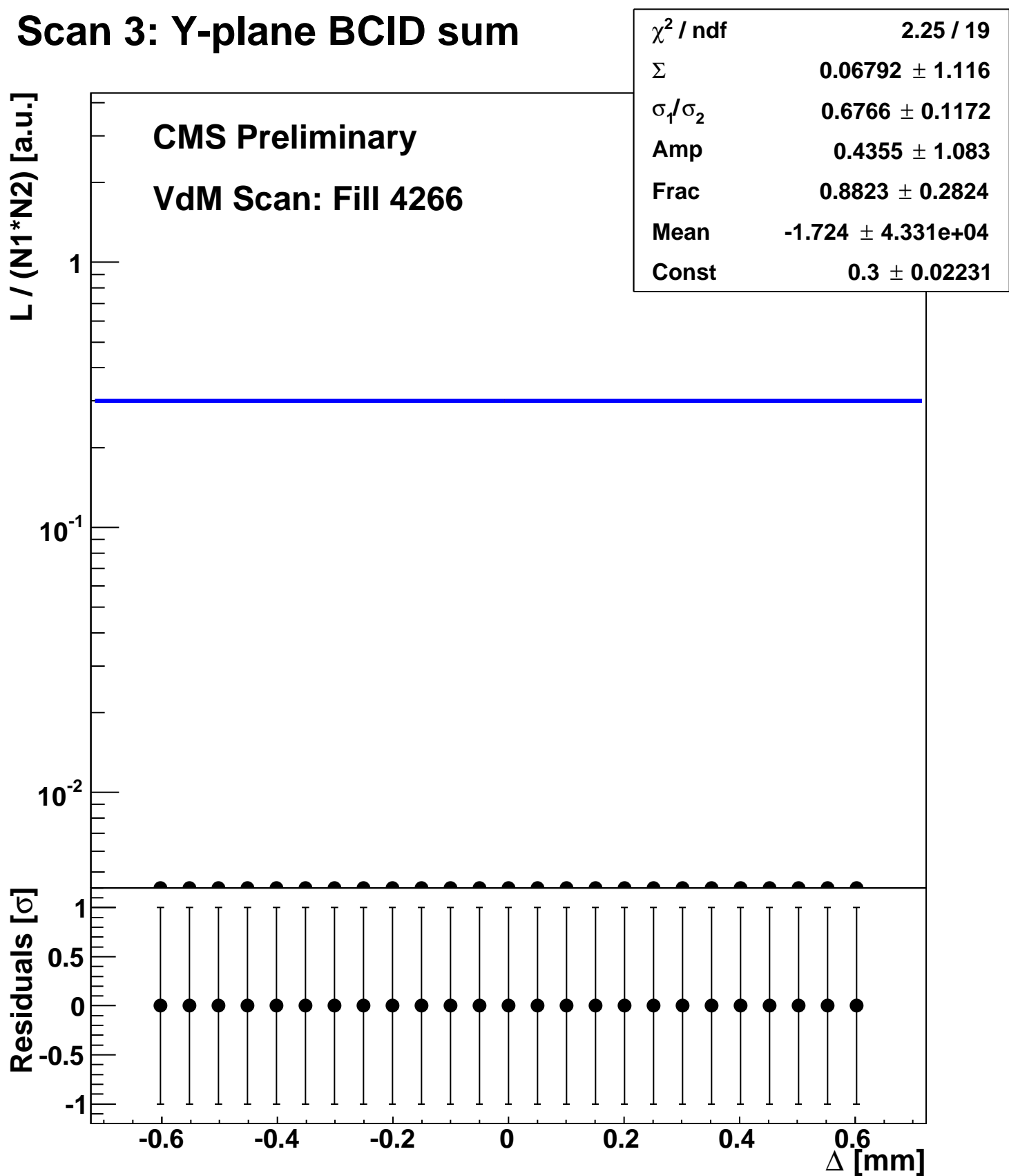
Scan 3: Y-plane BCID 51



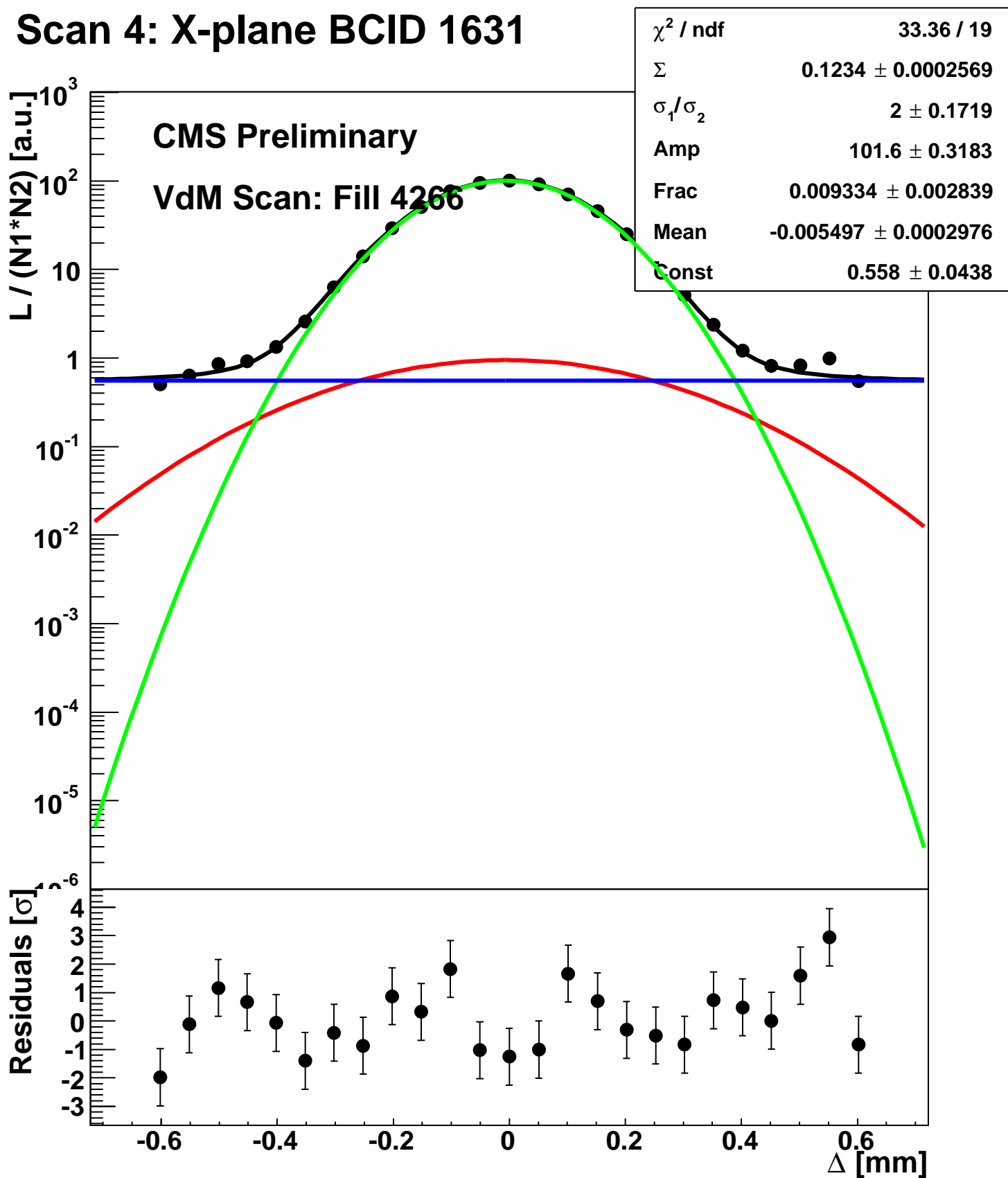
Scan 3: Y-plane BCID 771



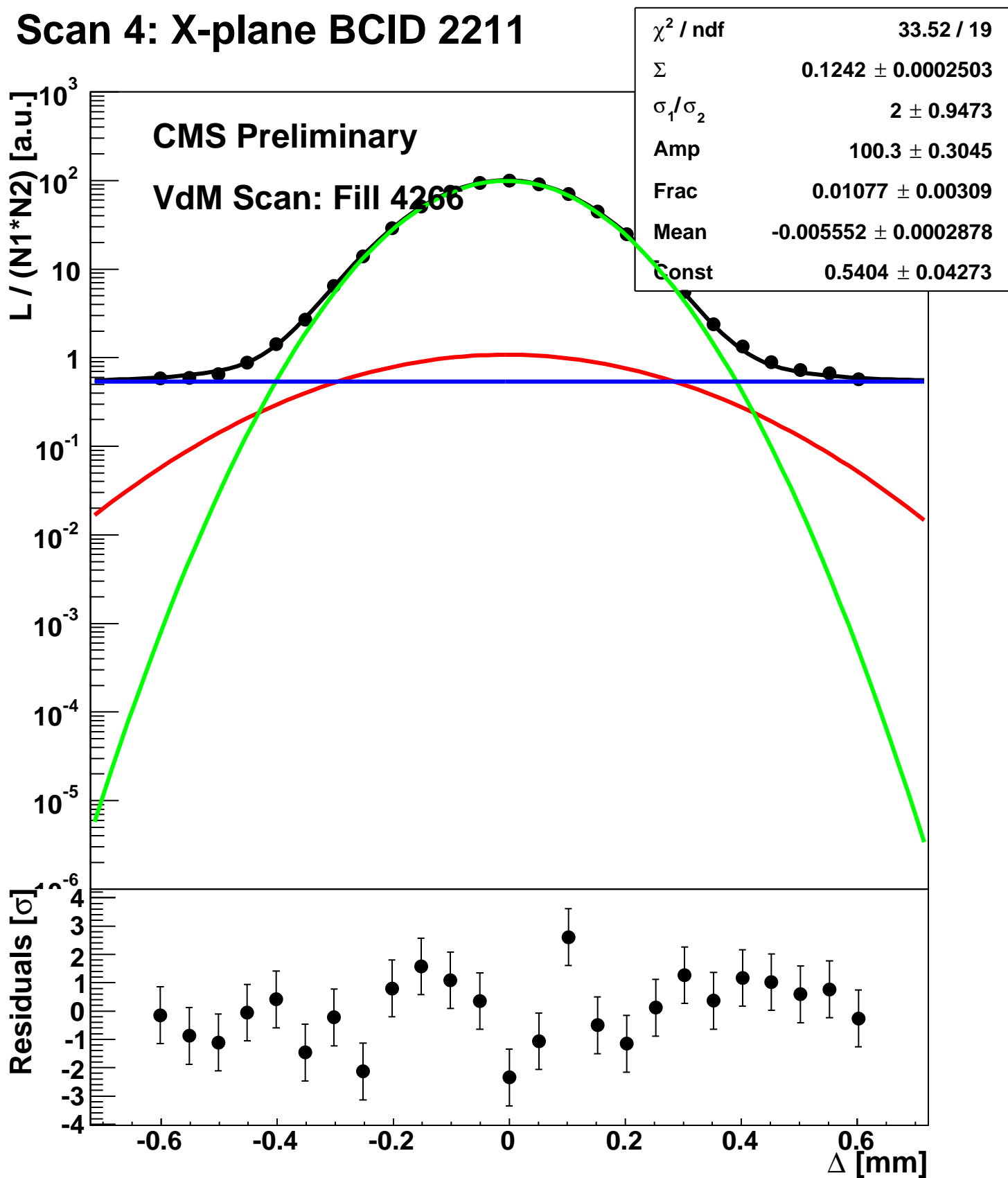
Scan 3: Y-plane BCID sum



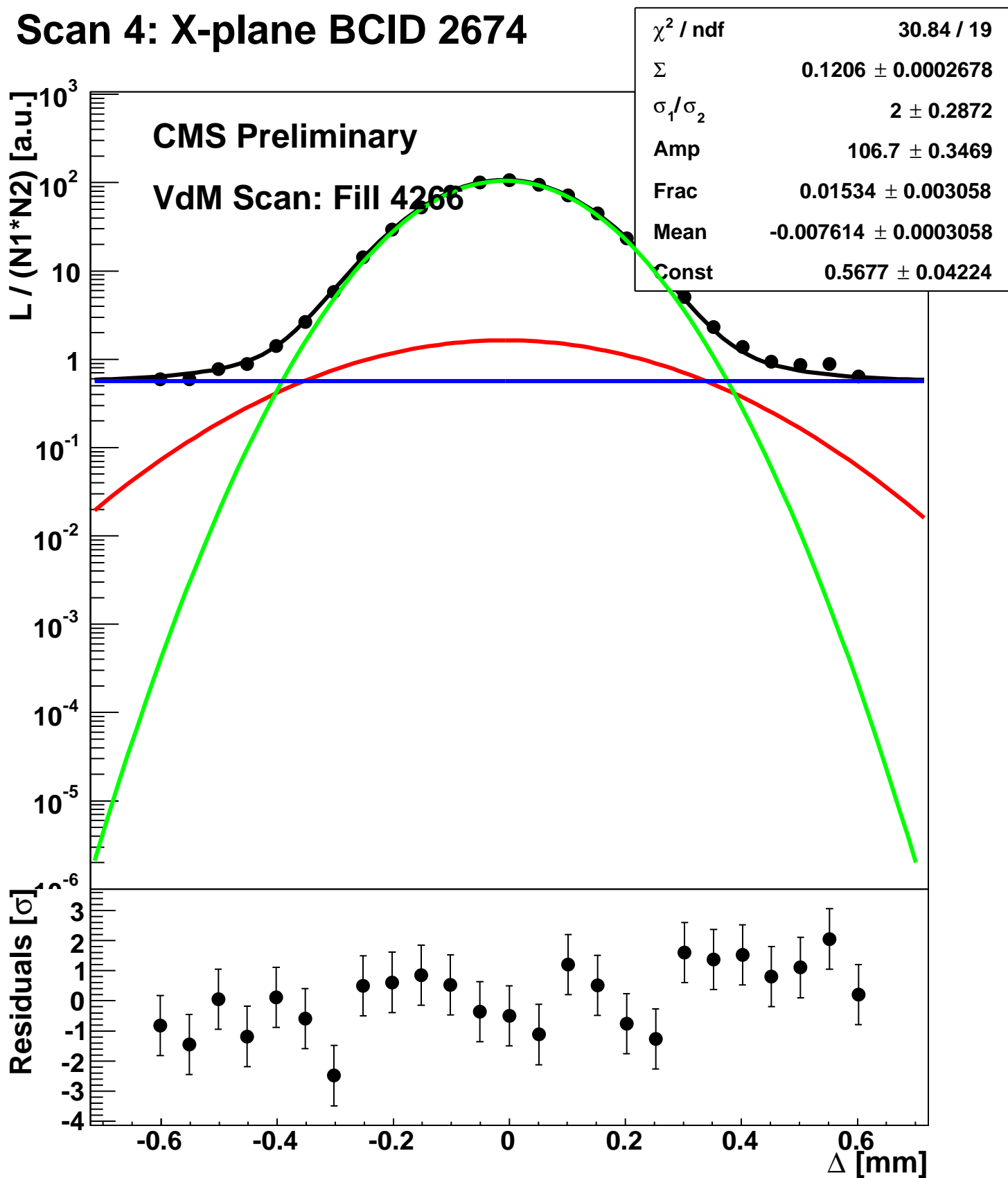
Scan 4: X-plane BCID 1631



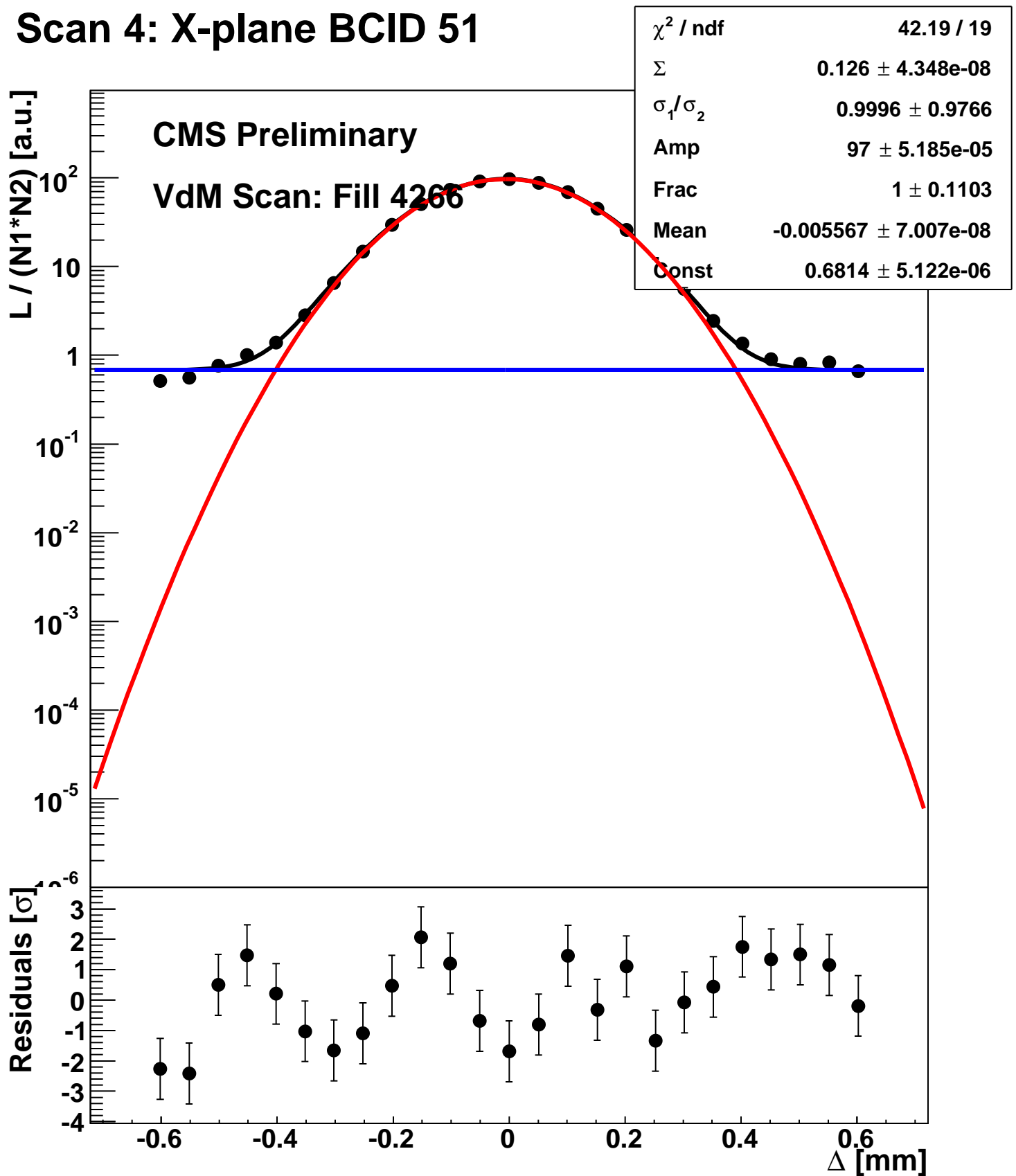
Scan 4: X-plane BCID 2211



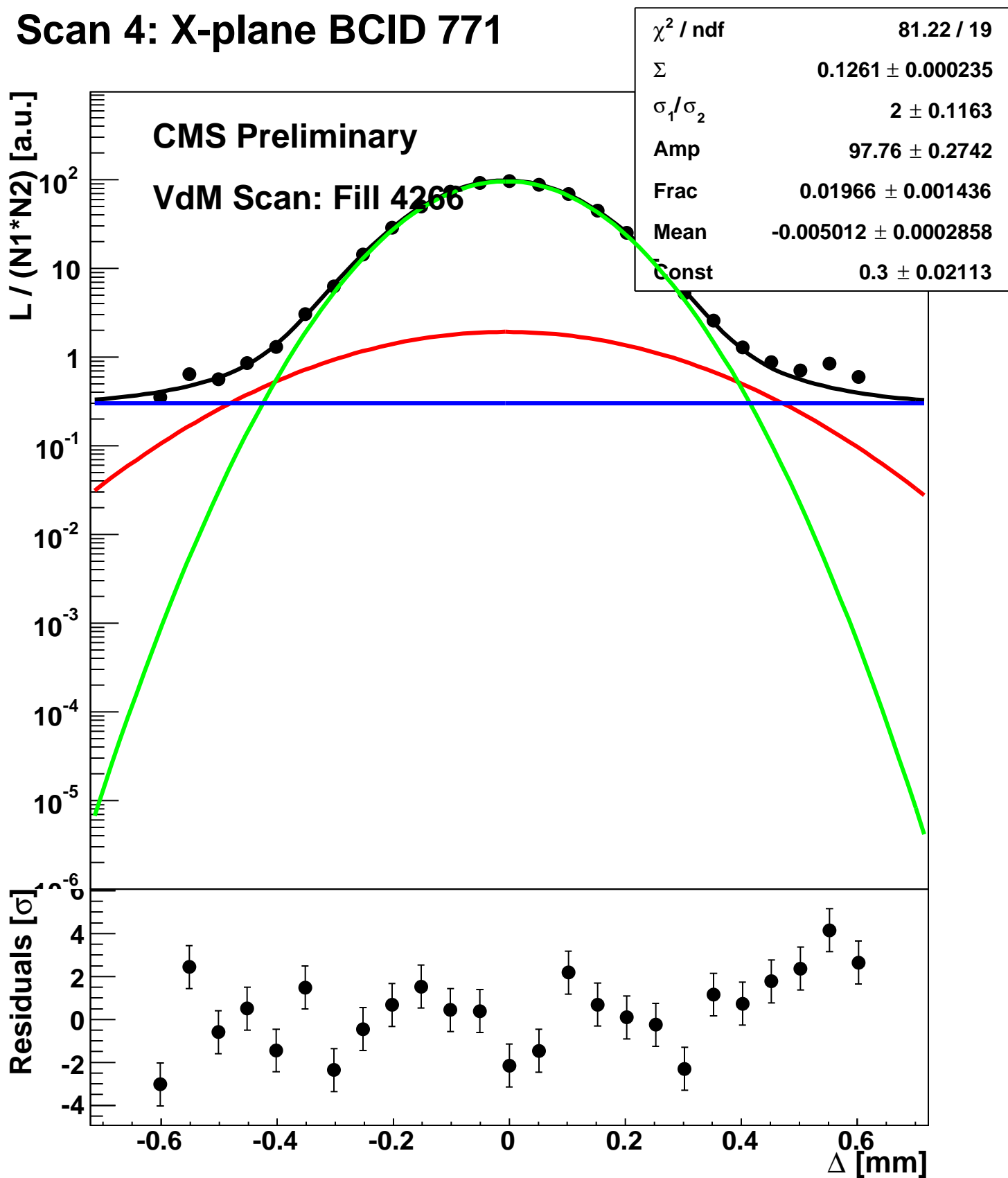
Scan 4: X-plane BCID 2674



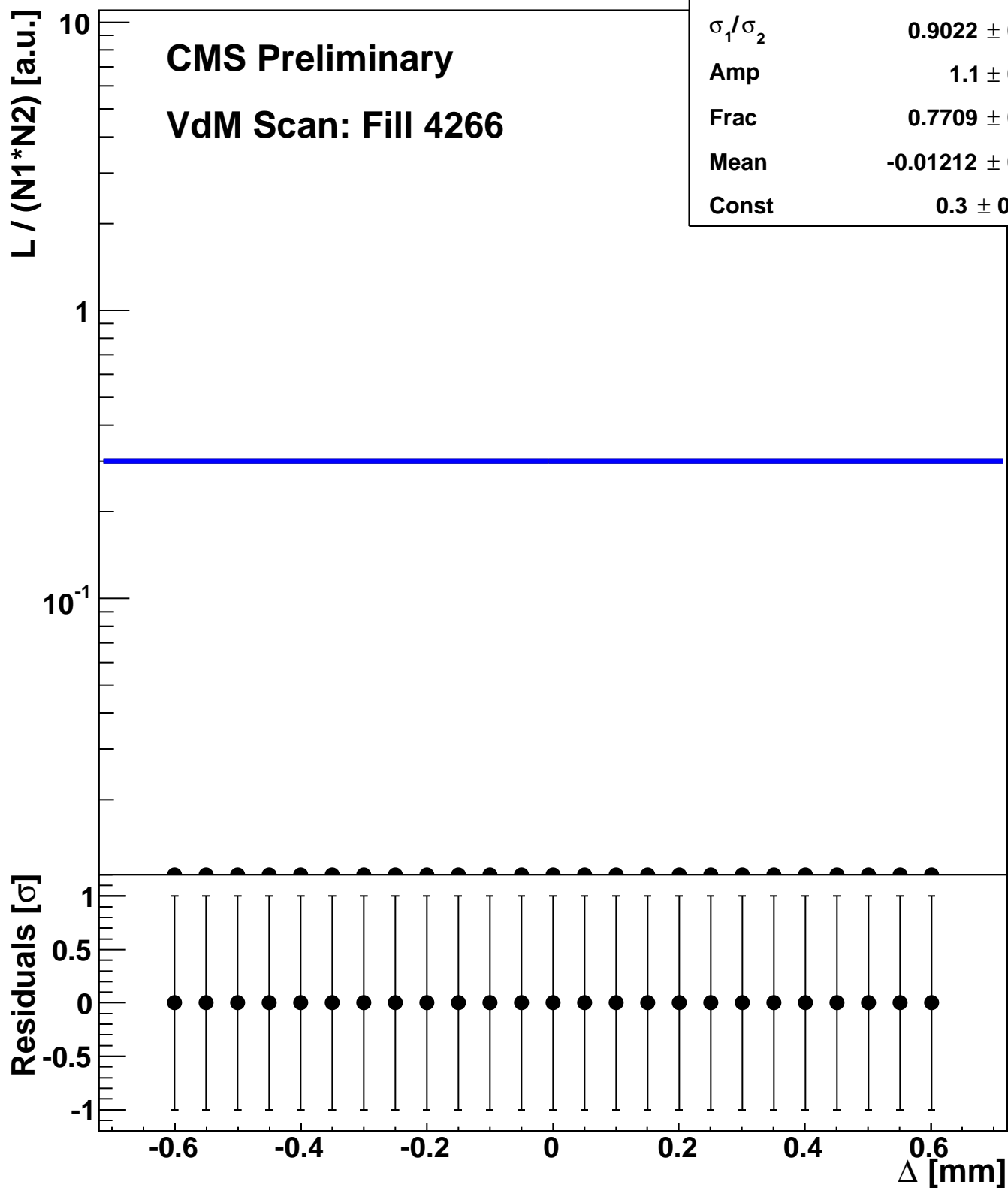
Scan 4: X-plane BCID 51



Scan 4: X-plane BCID 771

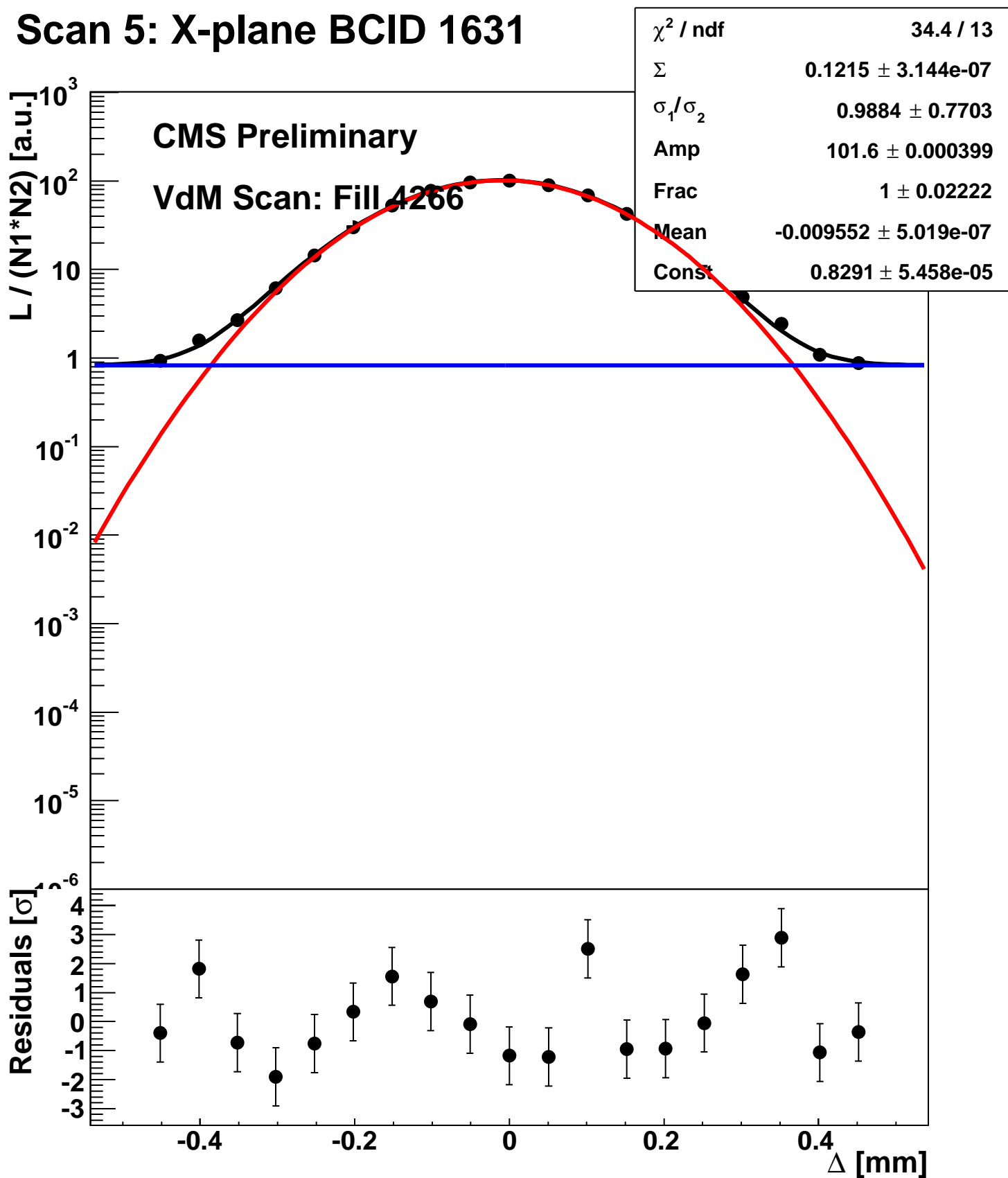


Scan 4: X-plane BCID sum

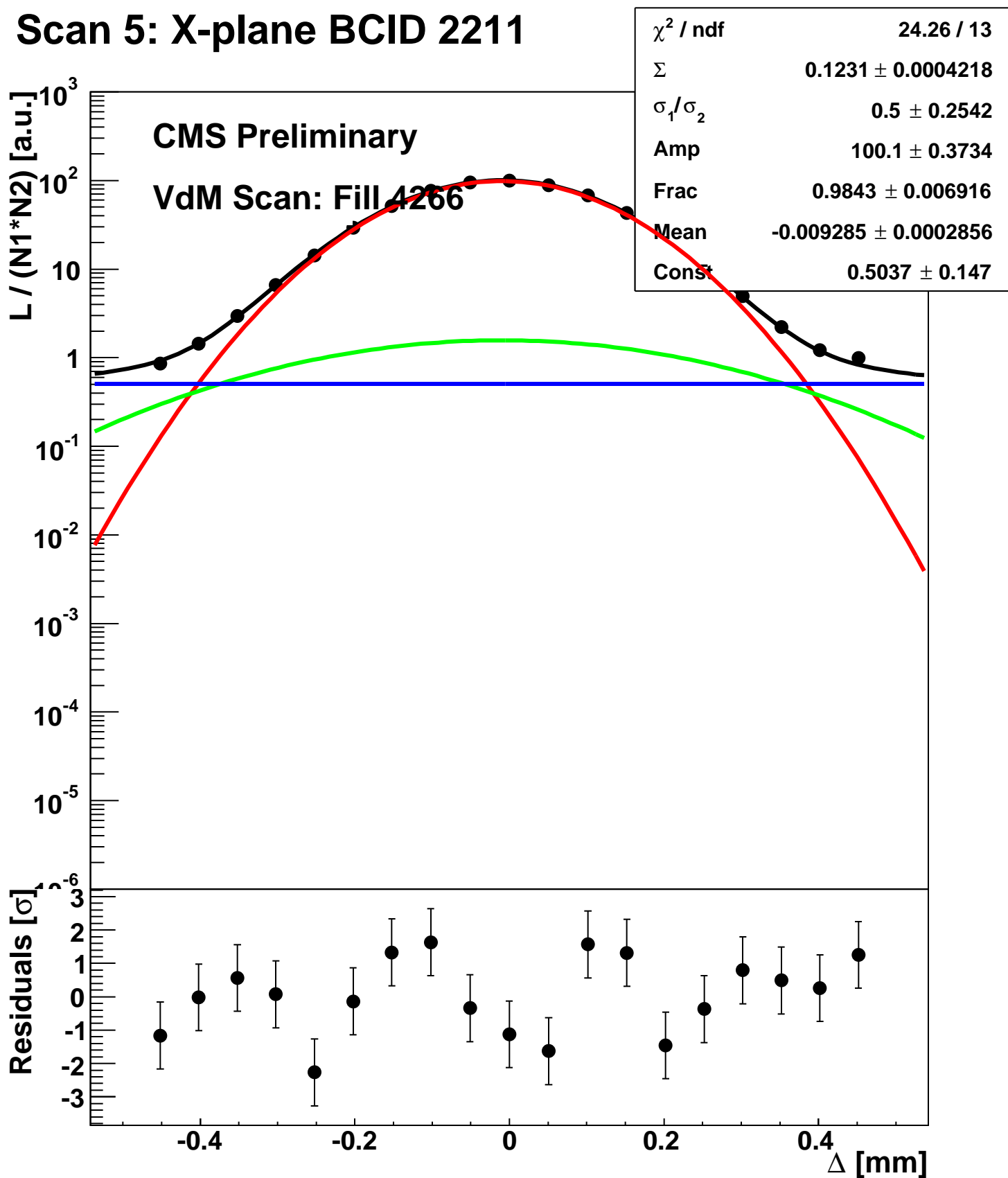


χ^2 / ndf	2.25 / 19
Σ	0.0001786 ± 0.004825
σ_1 / σ_2	0.9022 ± 0.1242
Amp	1.1 ± 0.9873
Frac	0.7709 ± 0.2828
Mean	-0.01212 ± 0.4867
Const	0.3 ± 0.02231

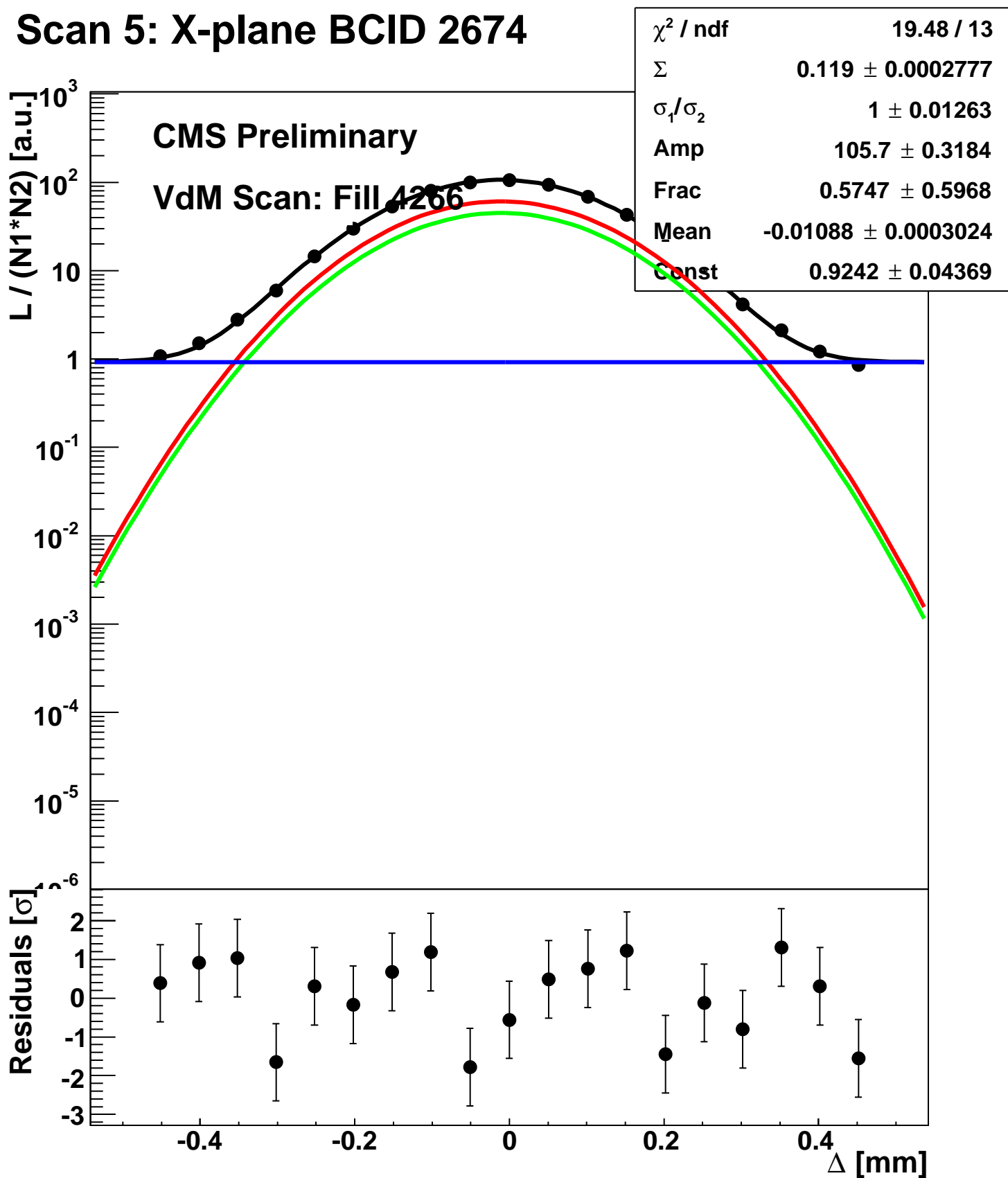
Scan 5: X-plane BCID 1631



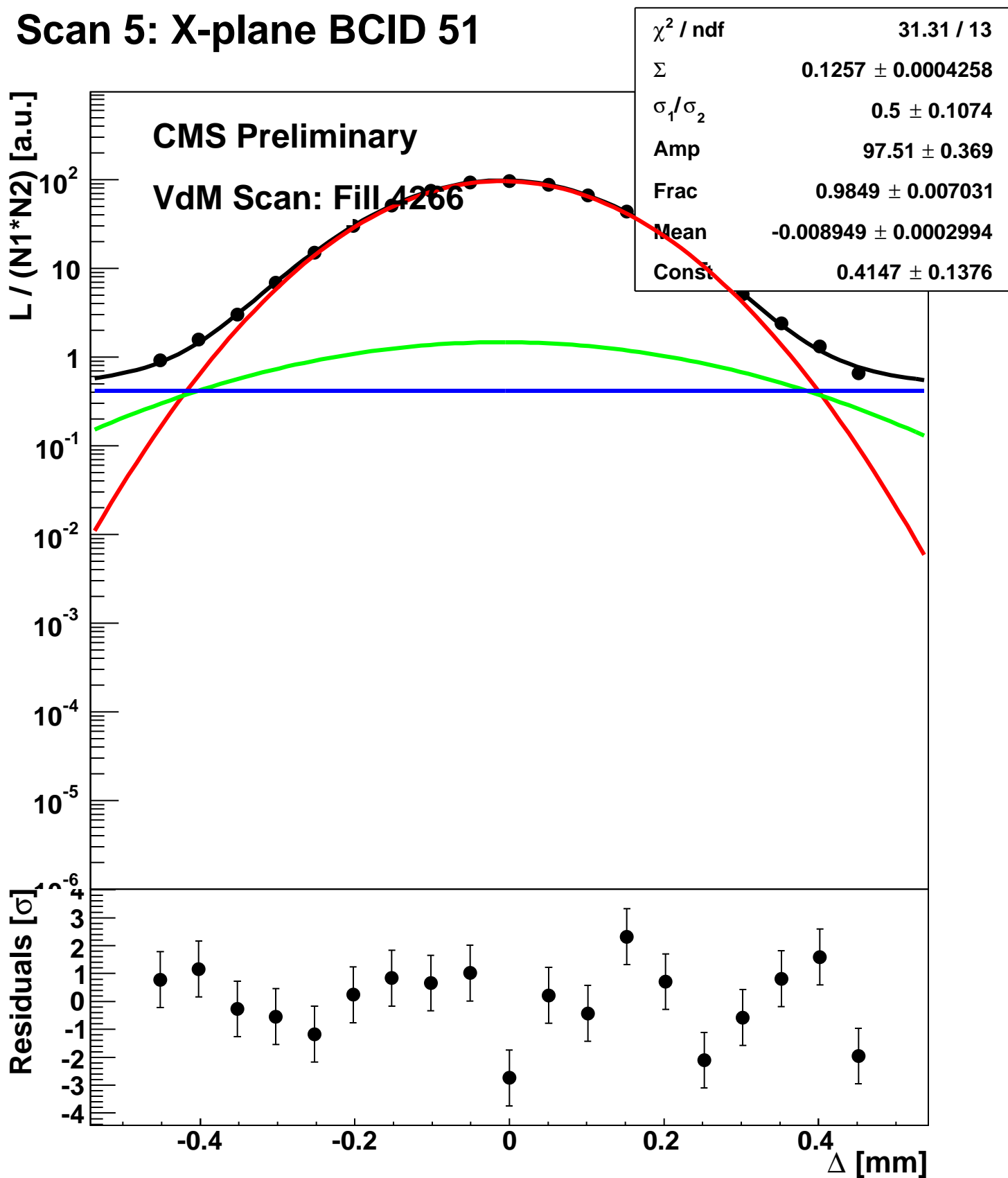
Scan 5: X-plane BCID 2211



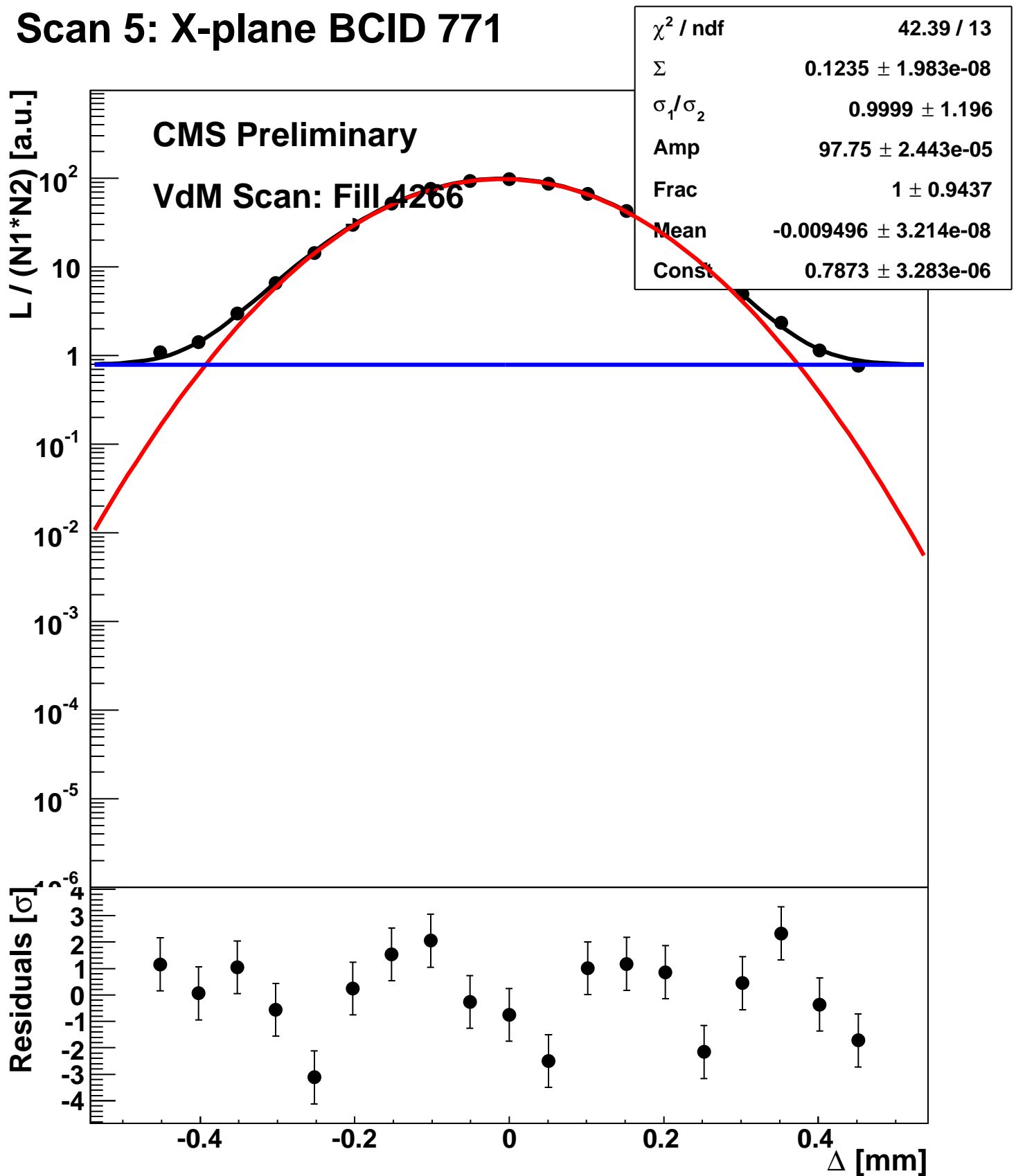
Scan 5: X-plane BCID 2674



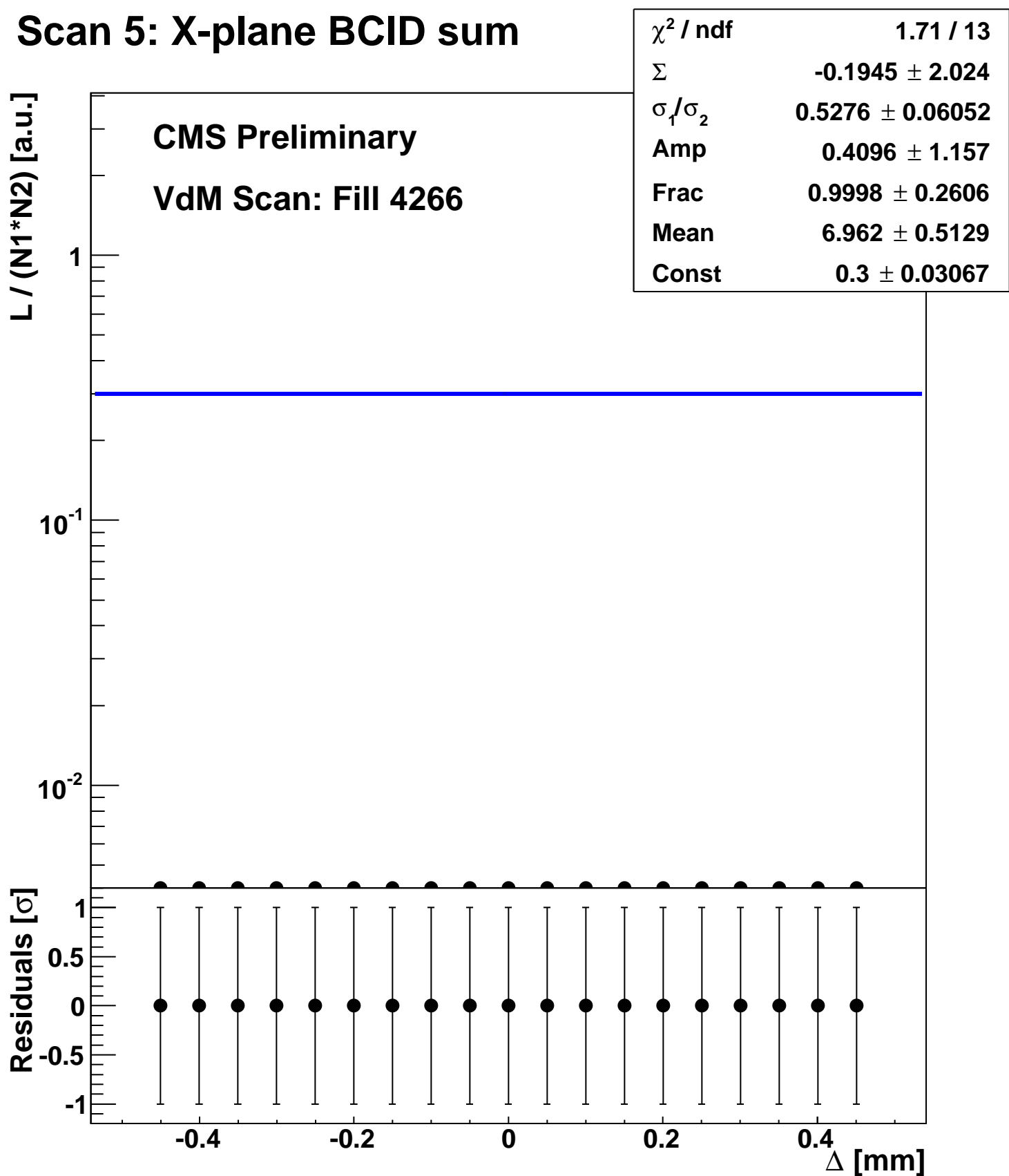
Scan 5: X-plane BCID 51



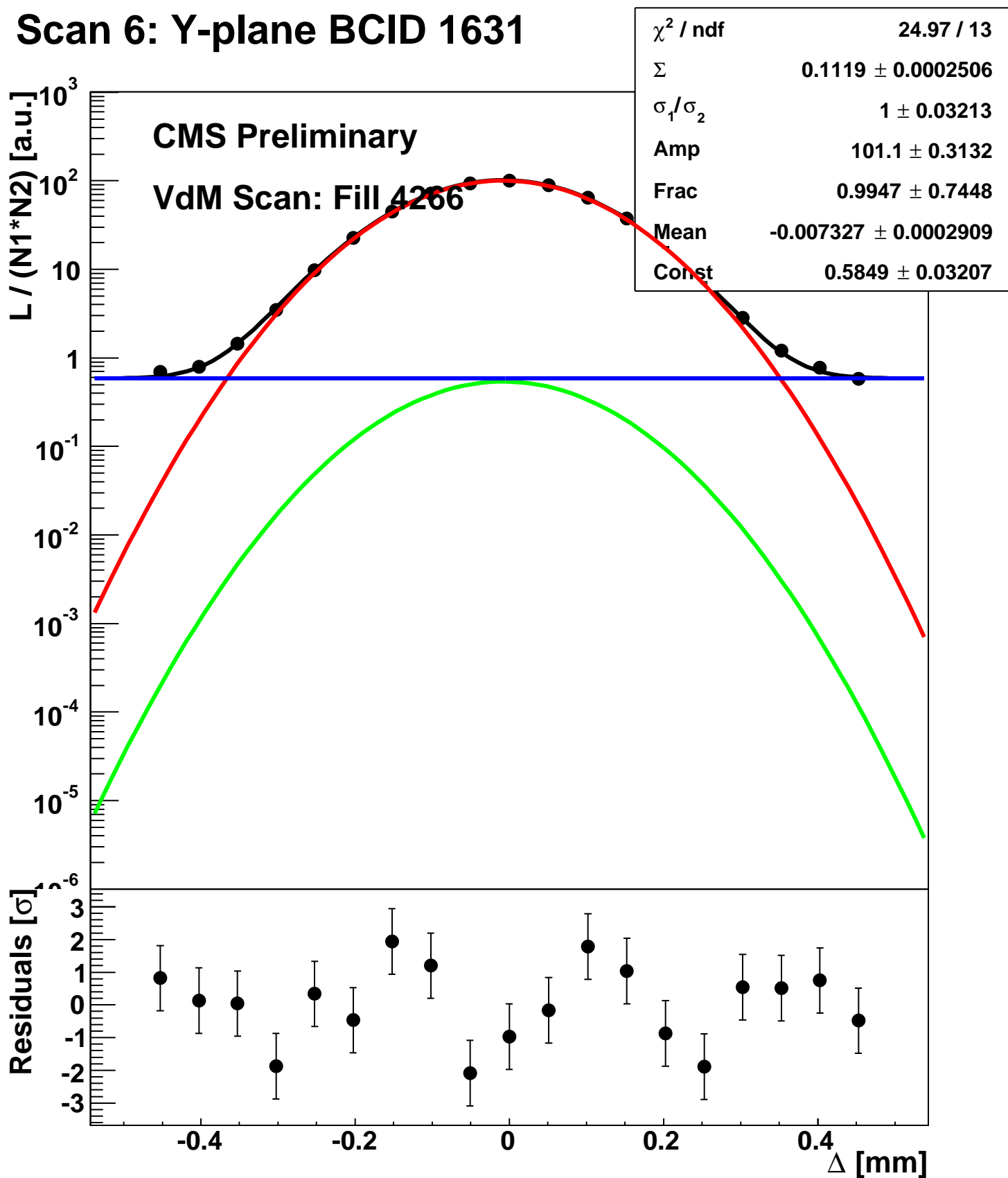
Scan 5: X-plane BCID 771



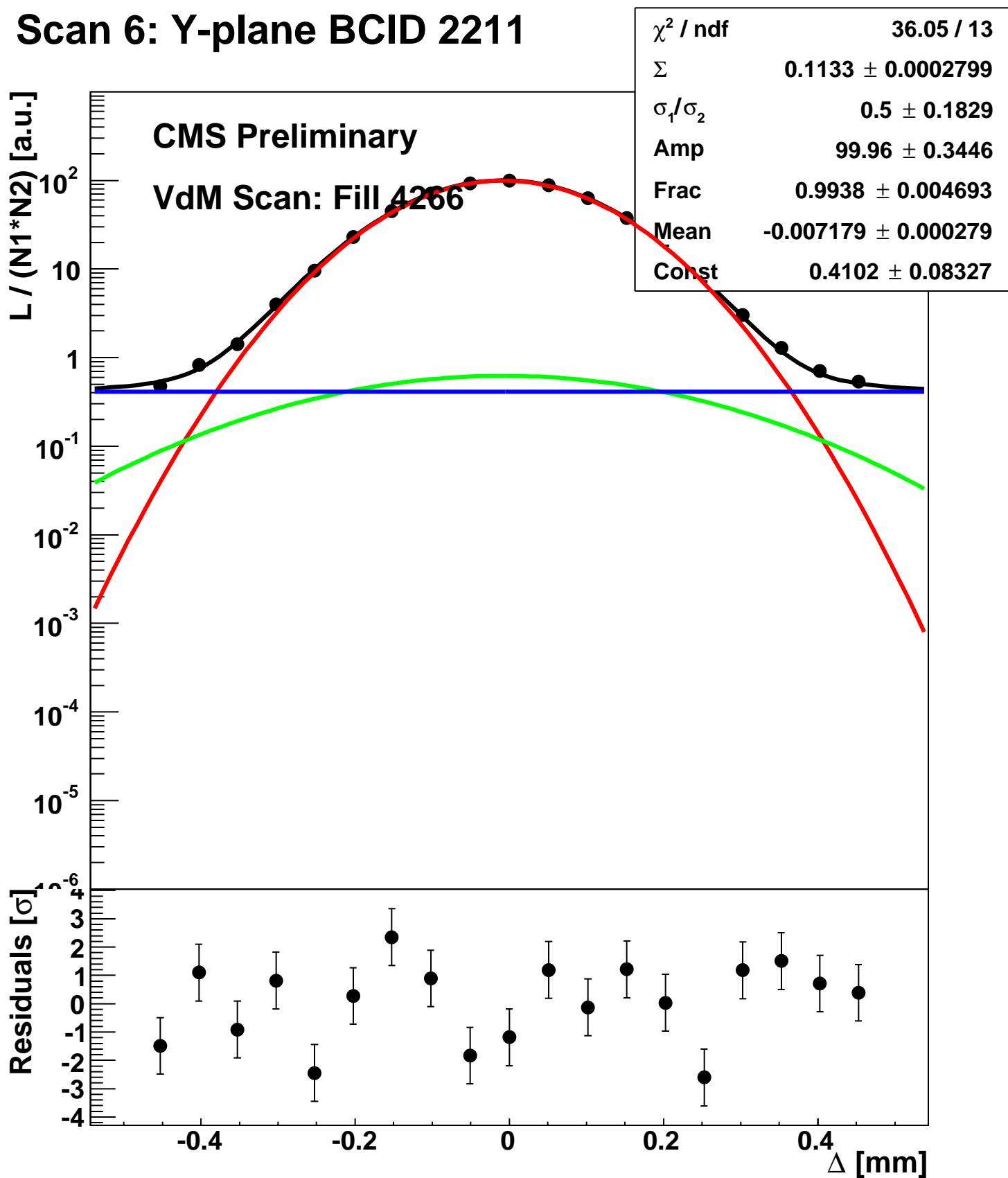
Scan 5: X-plane BCID sum



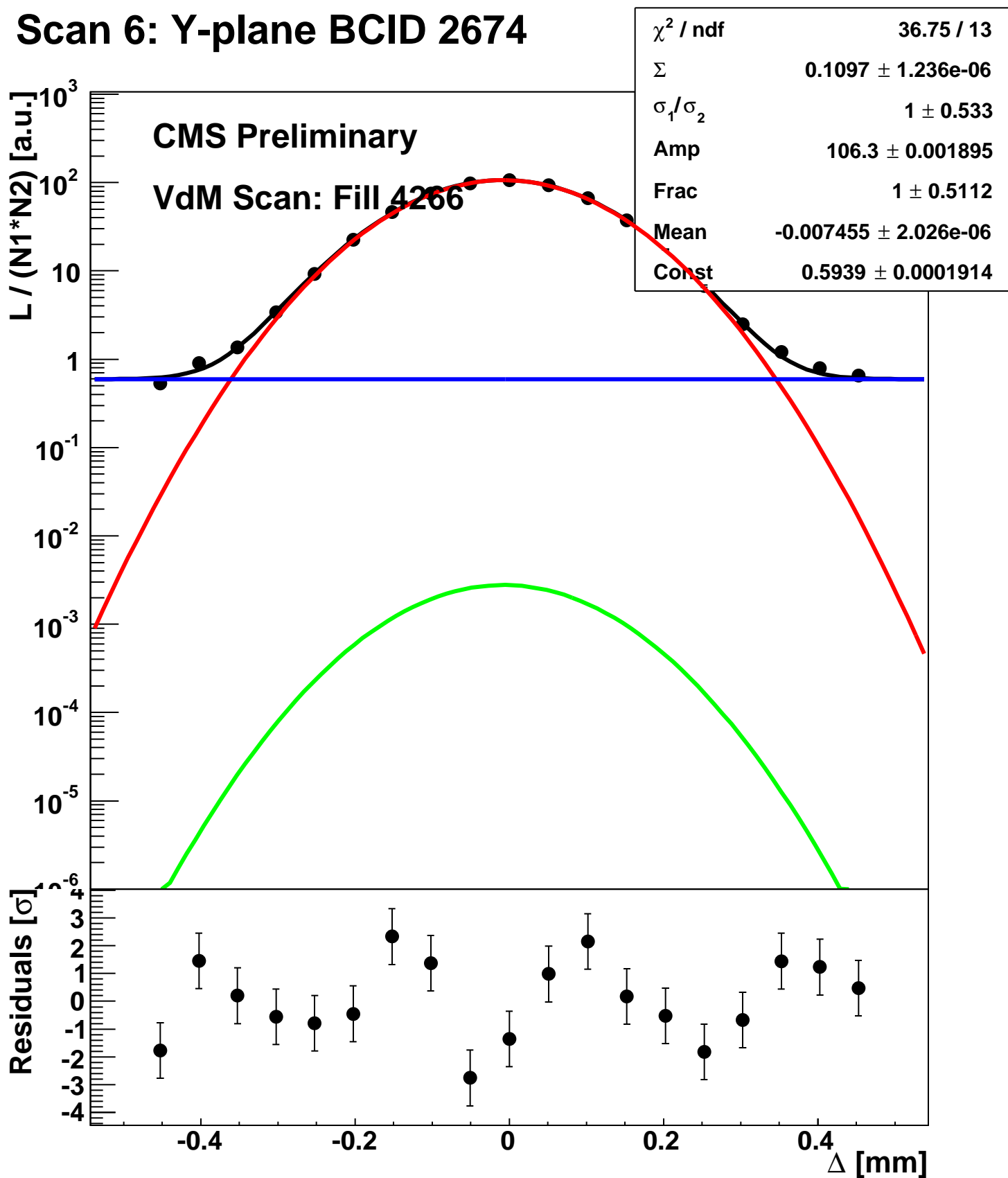
Scan 6: Y-plane BCID 1631



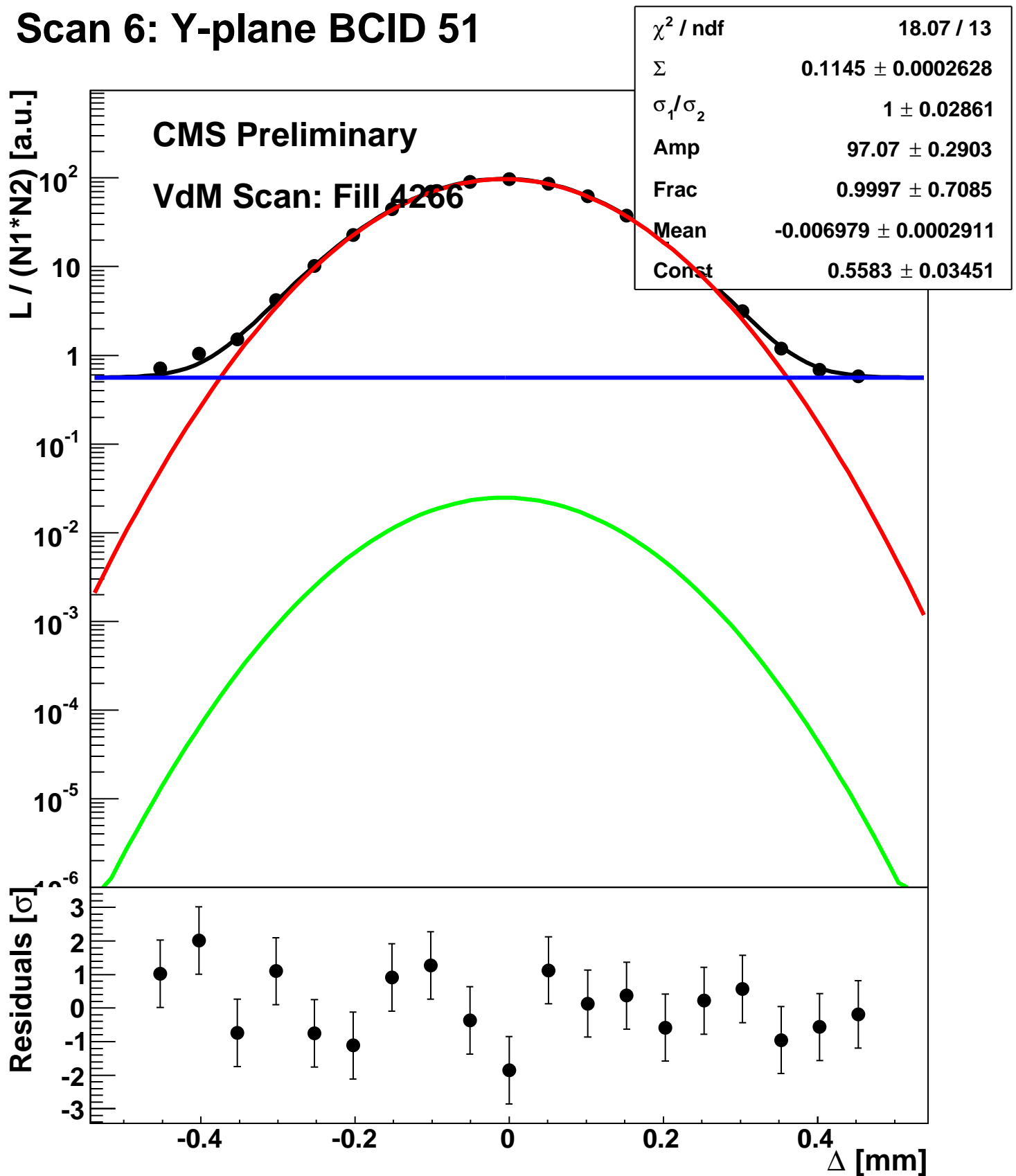
Scan 6: Y-plane BCID 2211



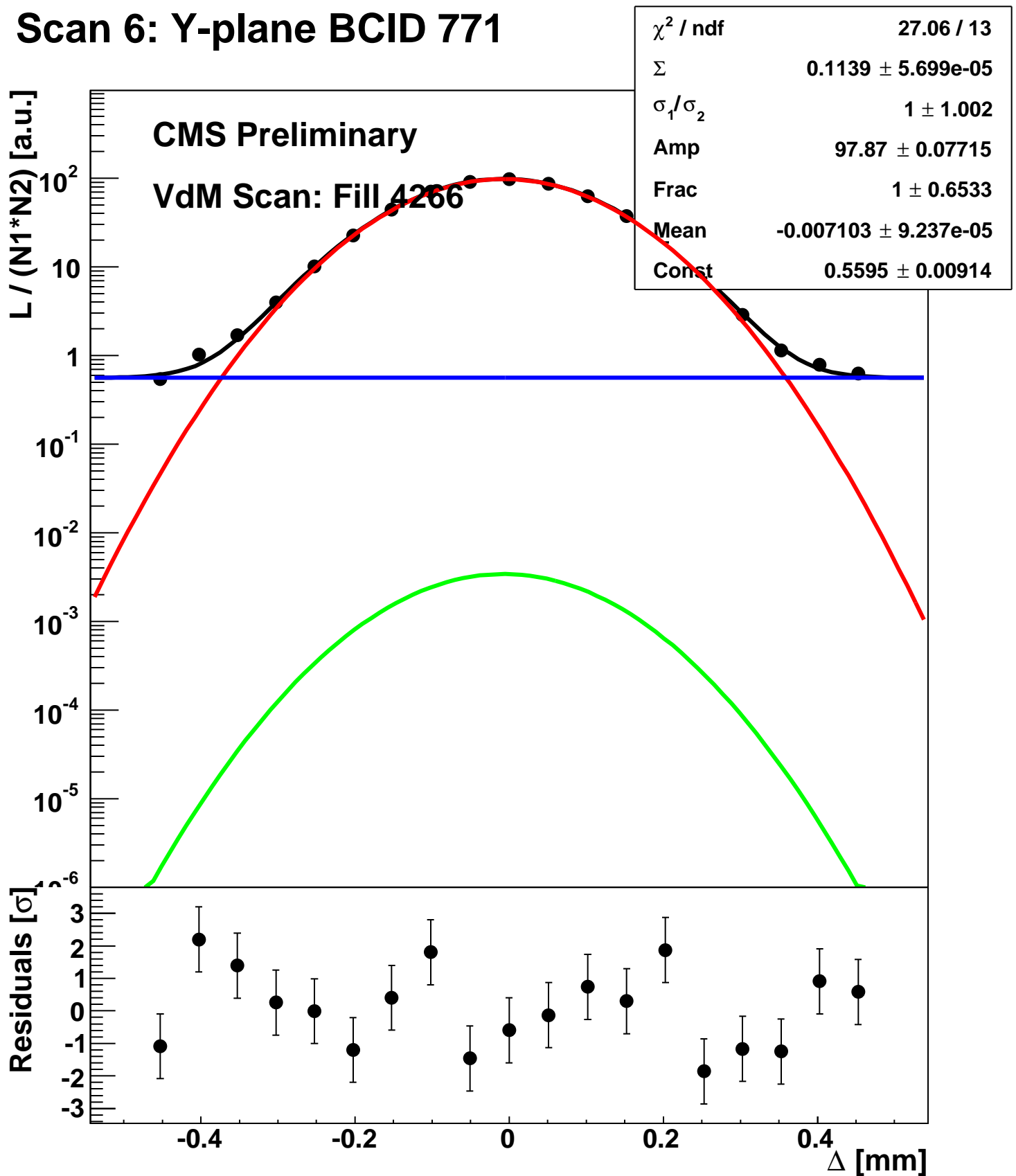
Scan 6: Y-plane BCID 2674



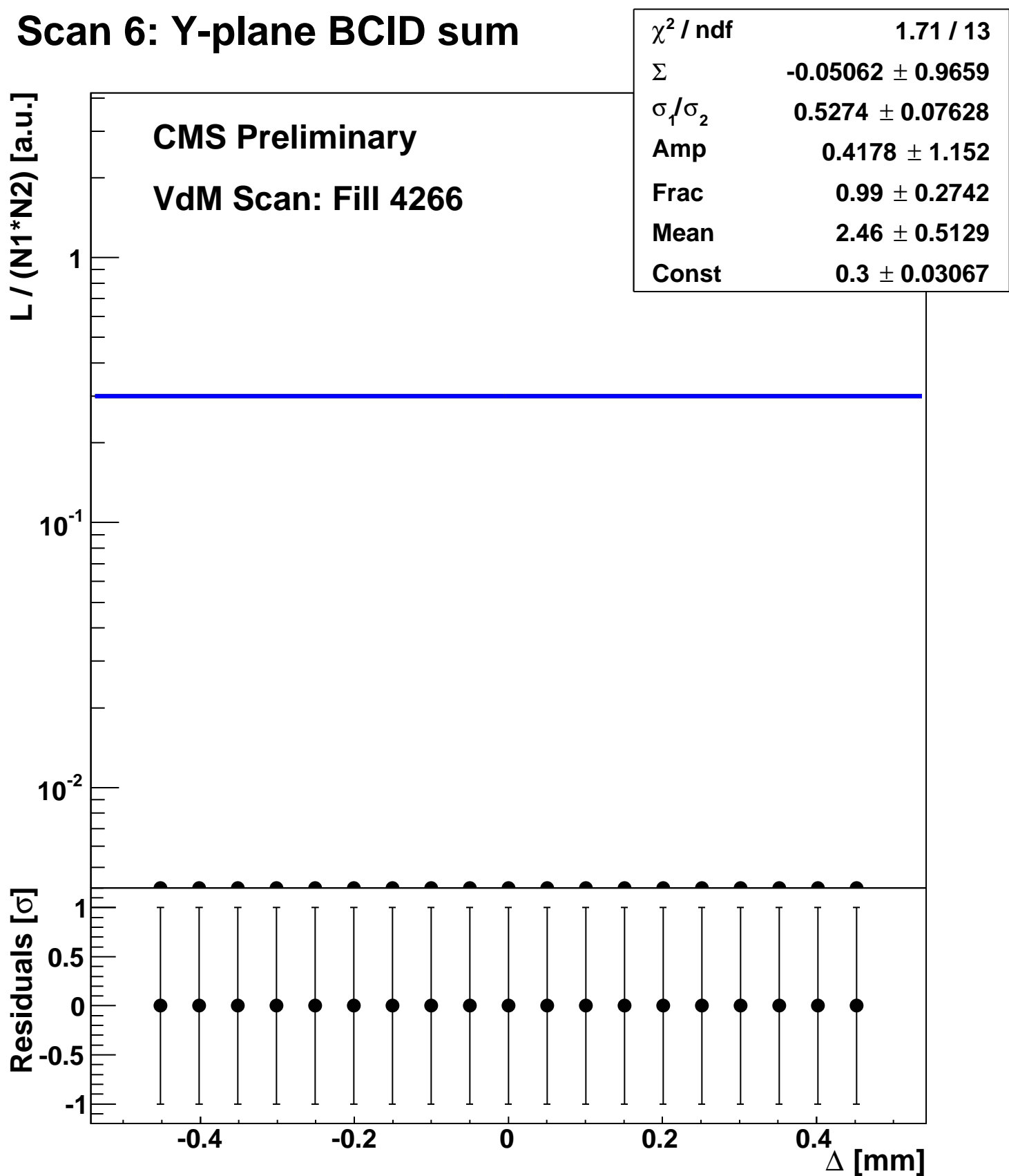
Scan 6: Y-plane BCID 51



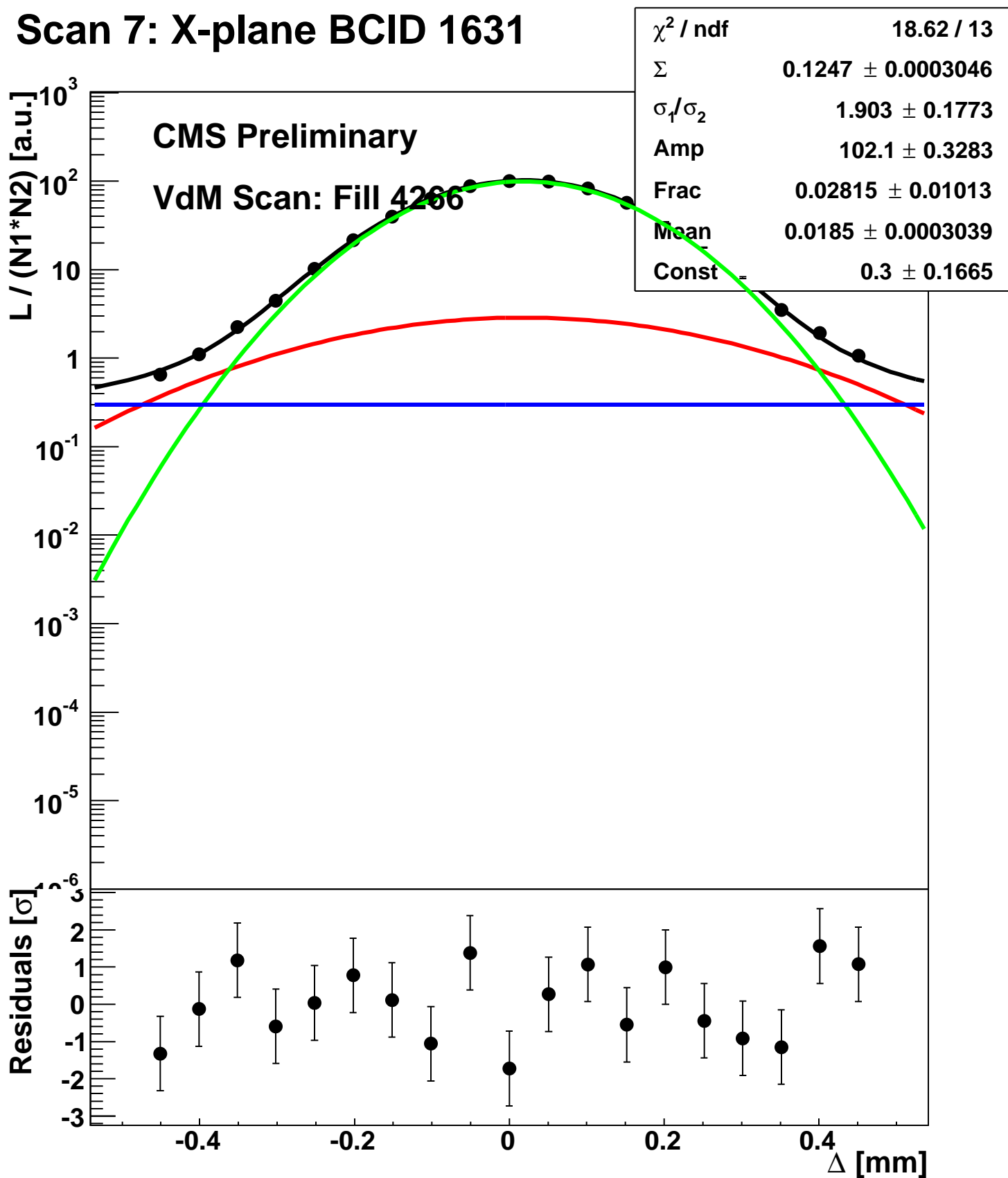
Scan 6: Y-plane BCID 771



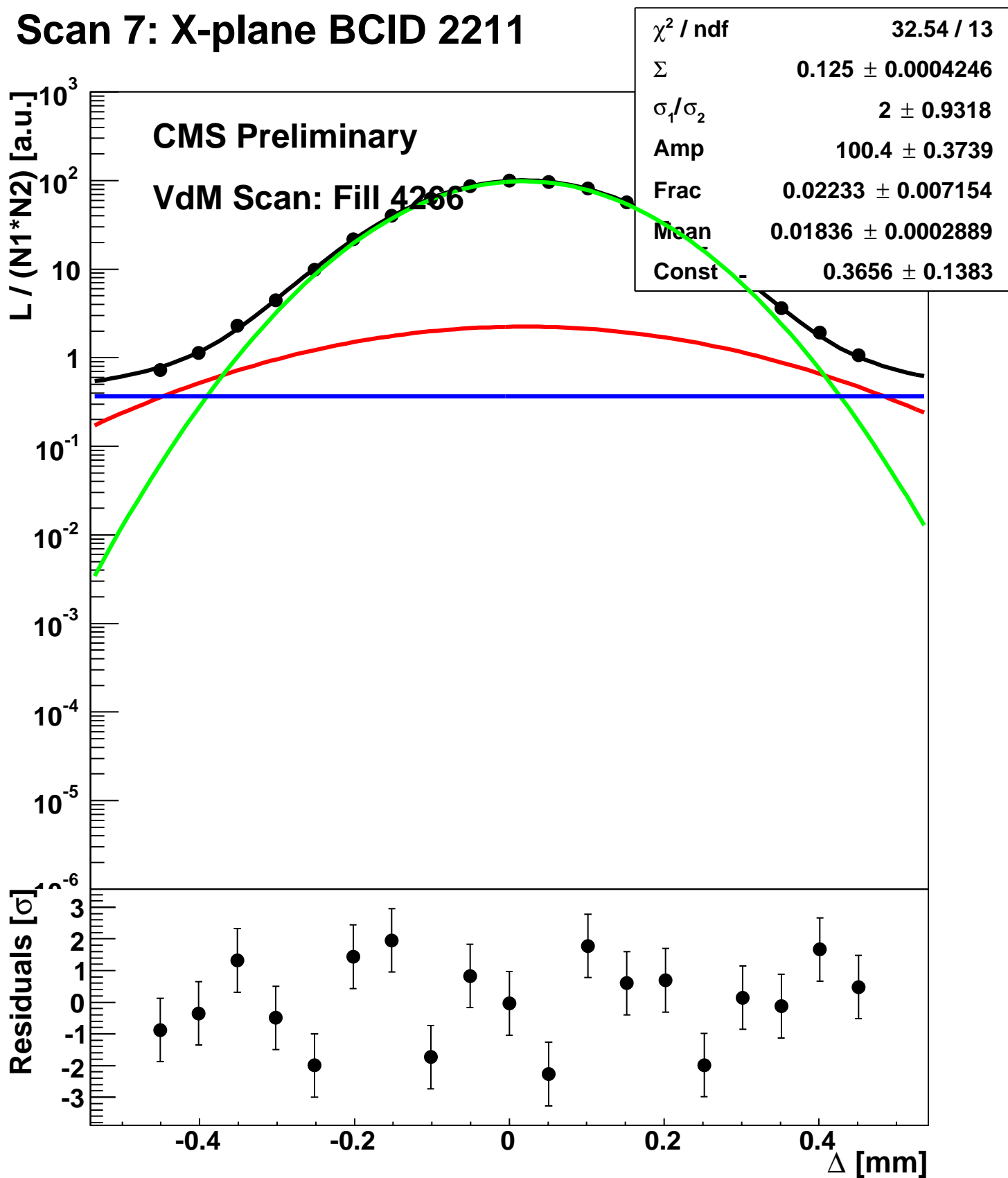
Scan 6: Y-plane BCID sum



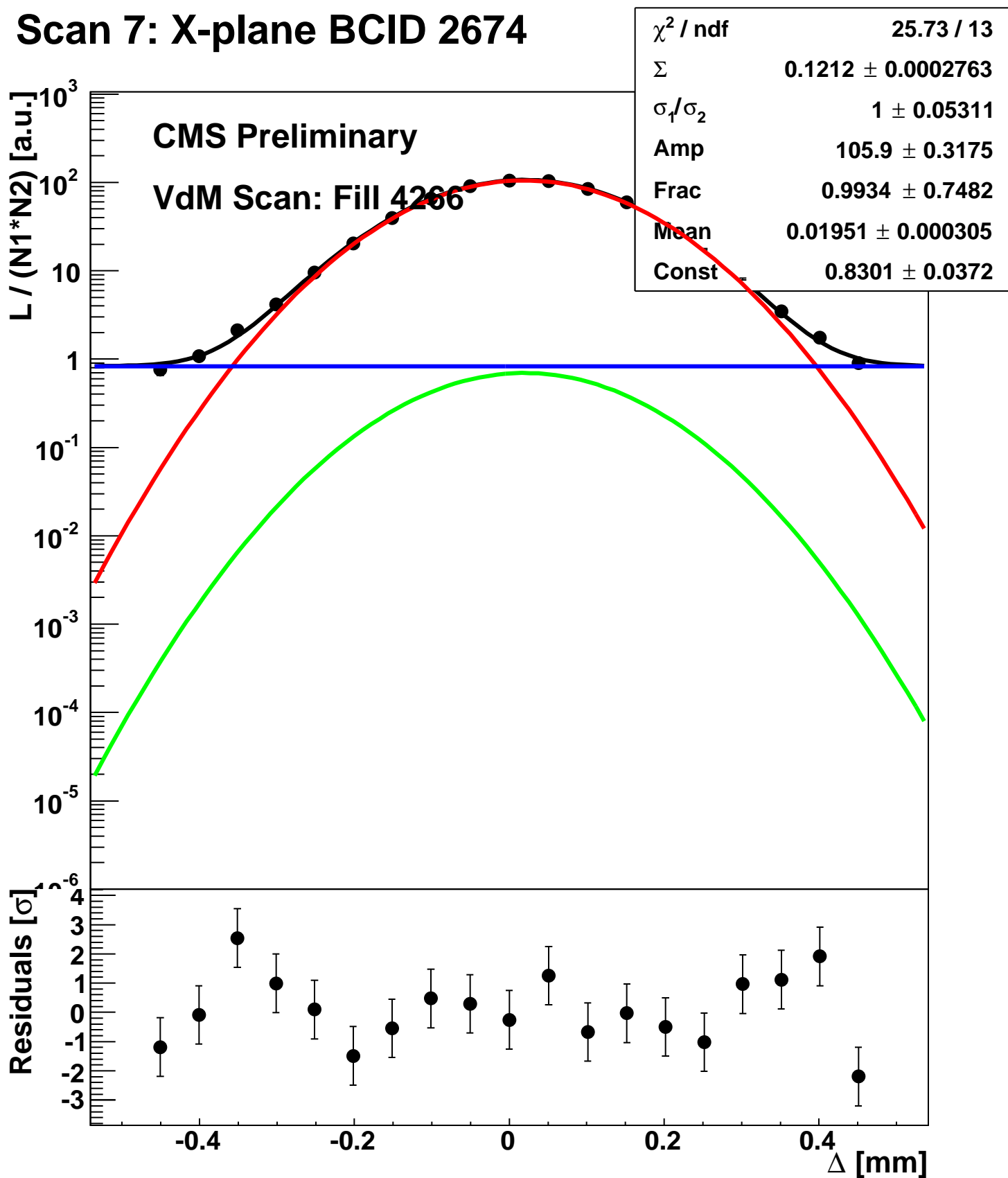
Scan 7: X-plane BCID 1631



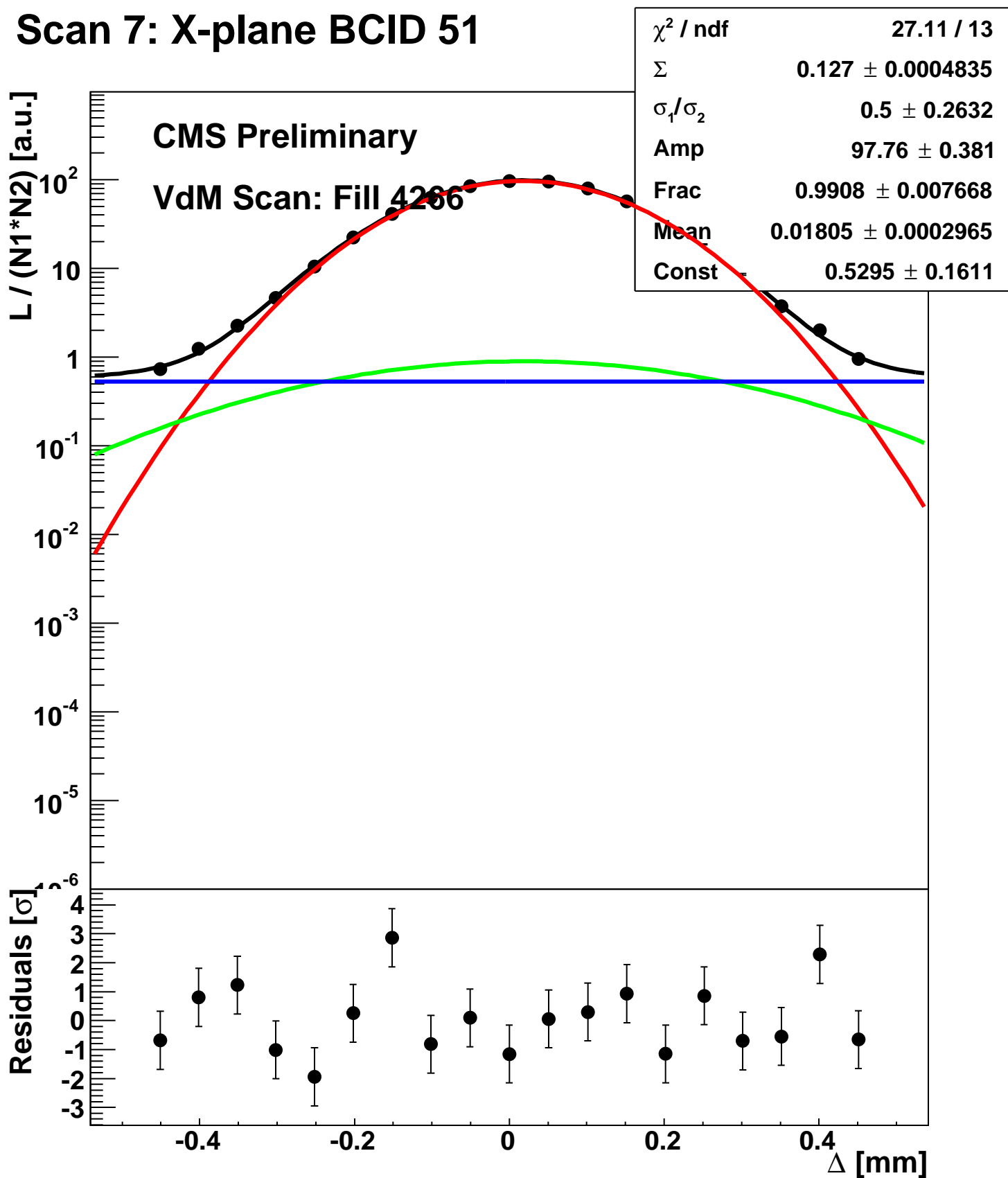
Scan 7: X-plane BCID 2211



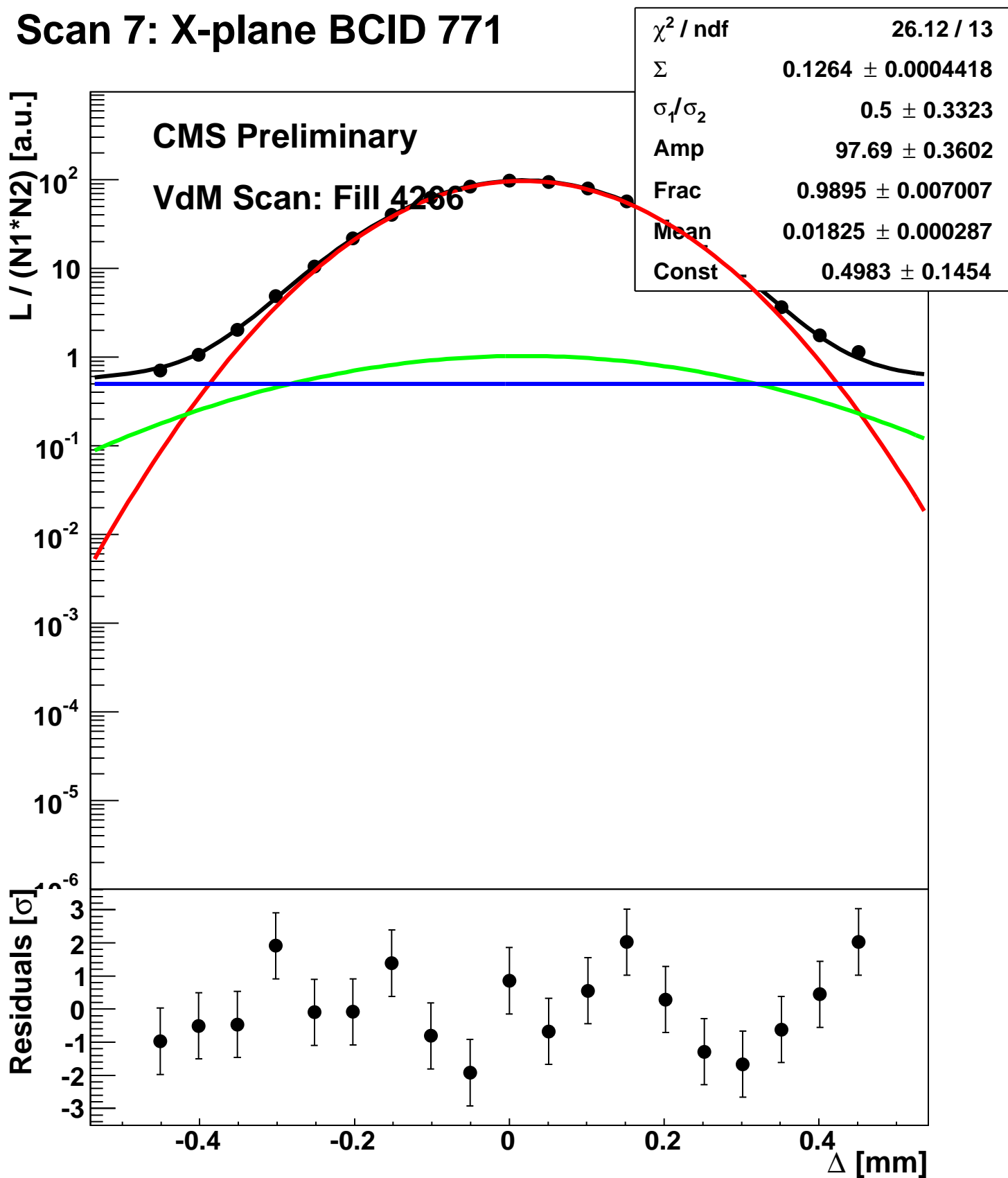
Scan 7: X-plane BCID 2674



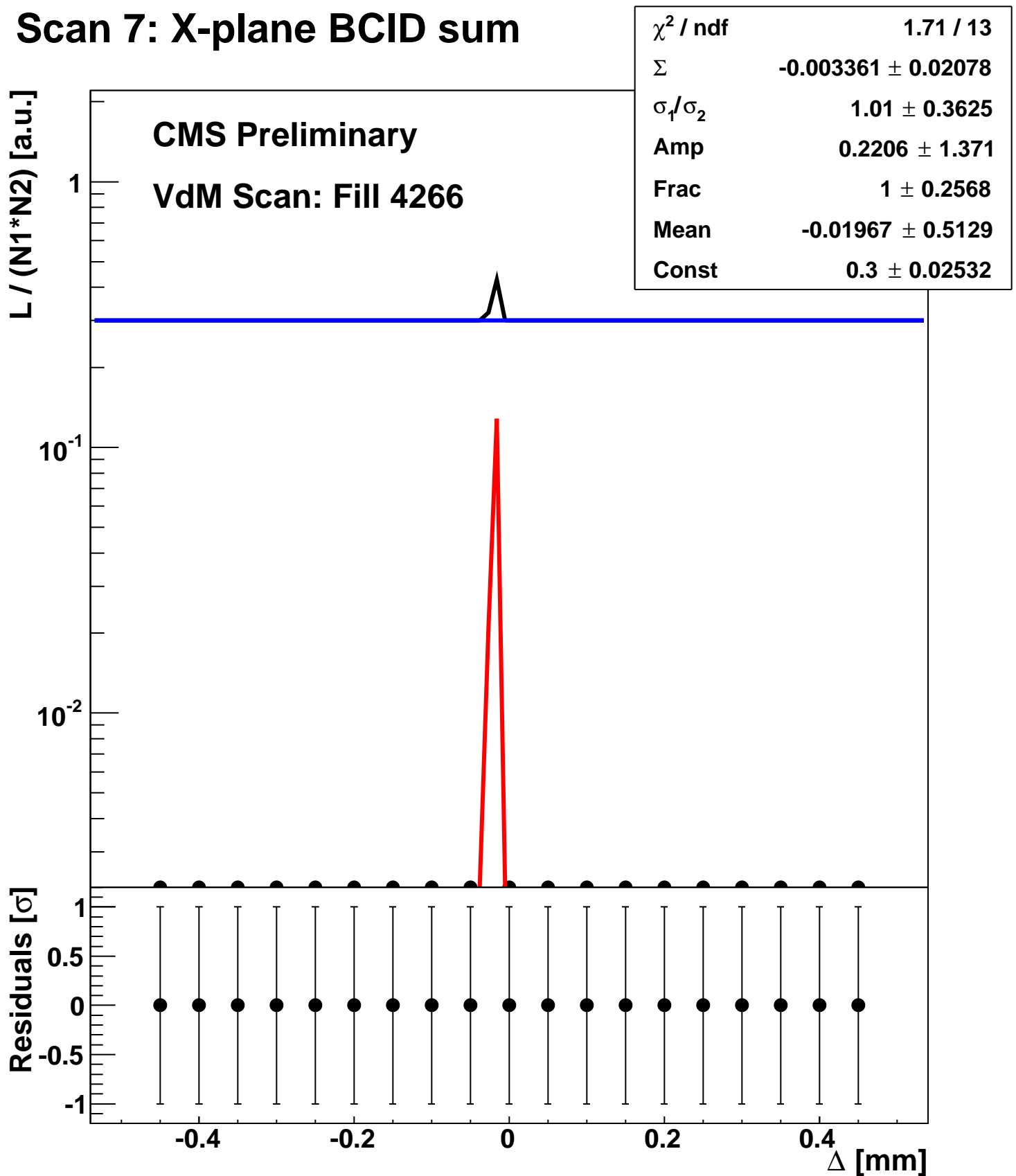
Scan 7: X-plane BCID 51



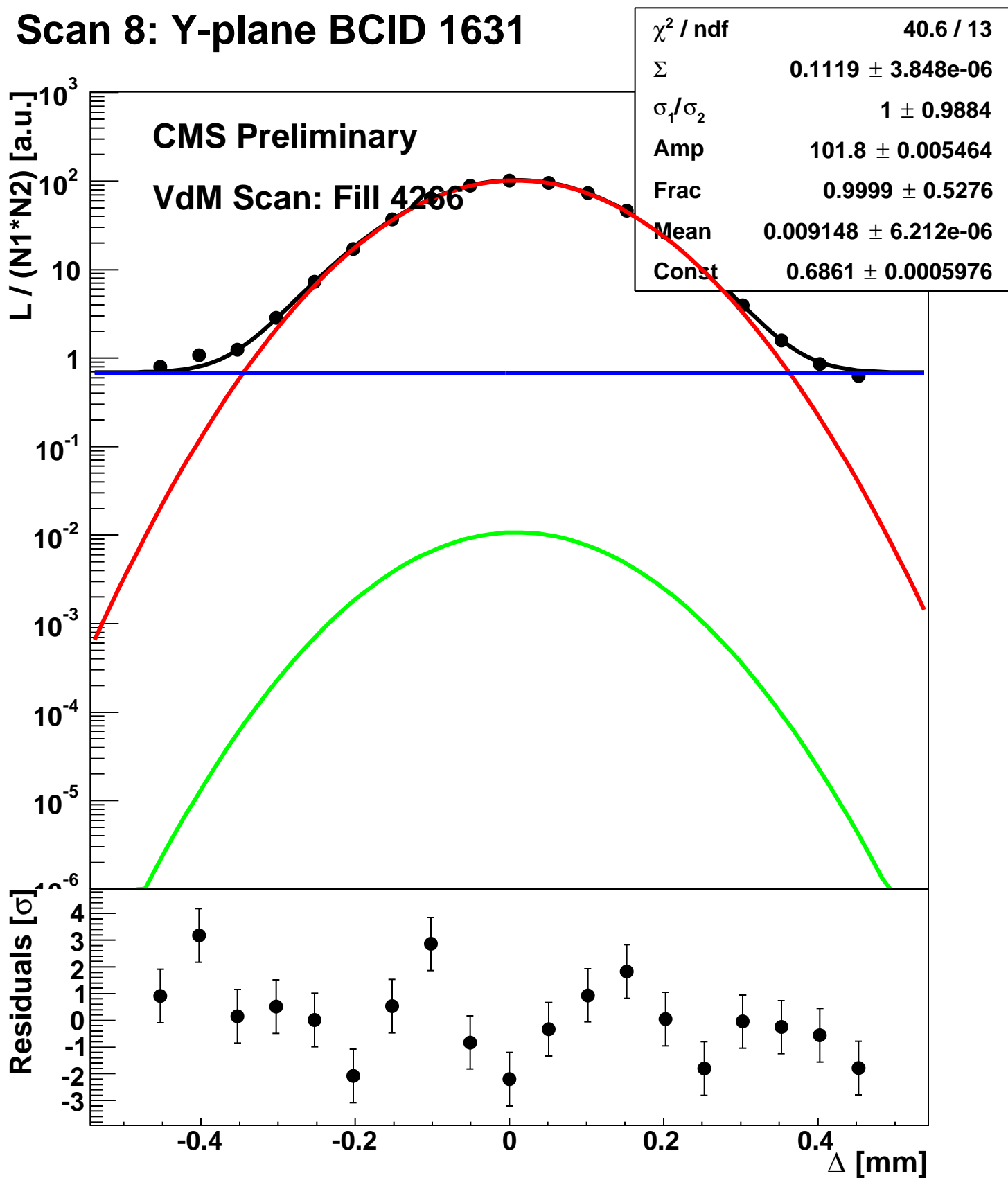
Scan 7: X-plane BCID 771



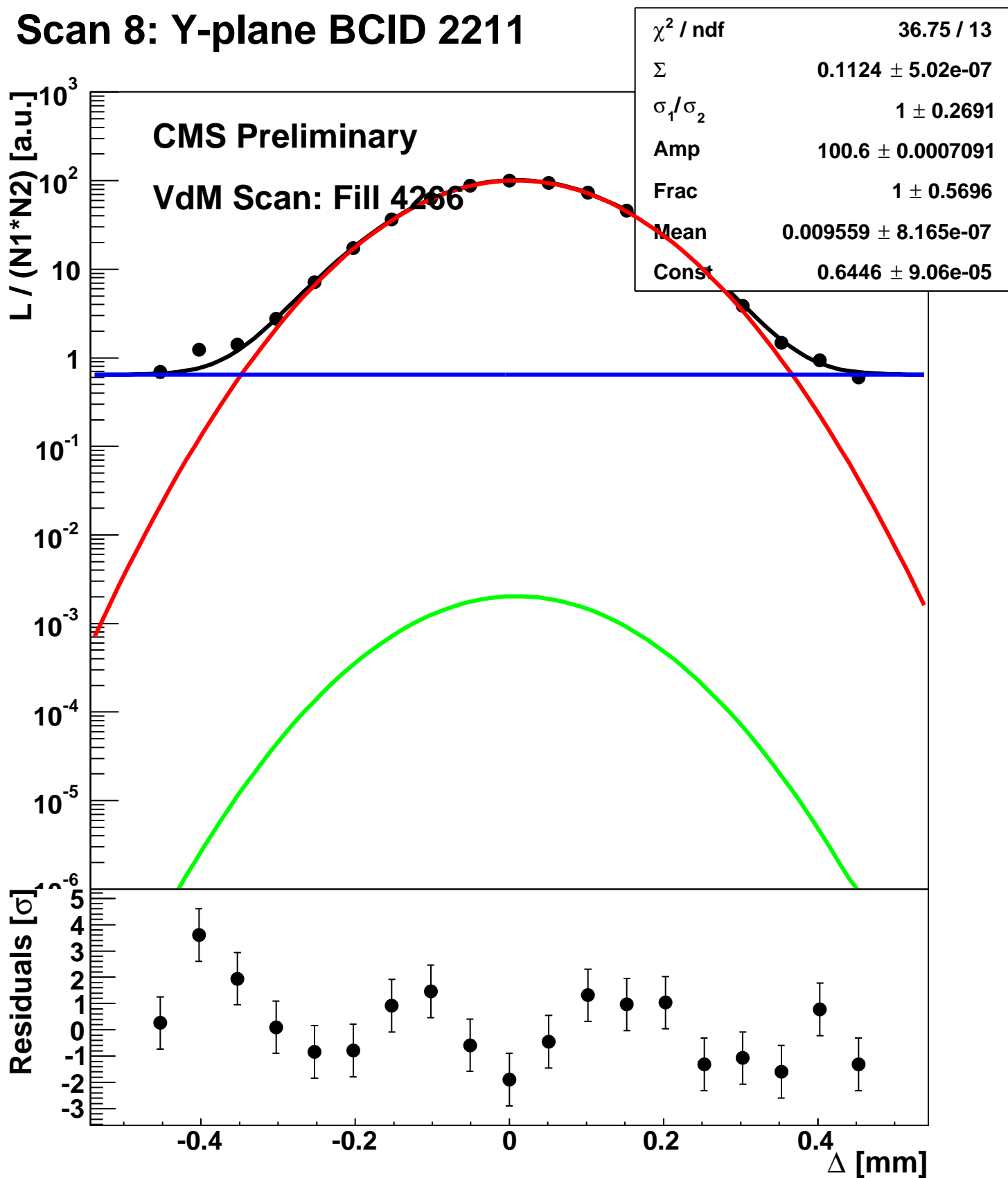
Scan 7: X-plane BCID sum



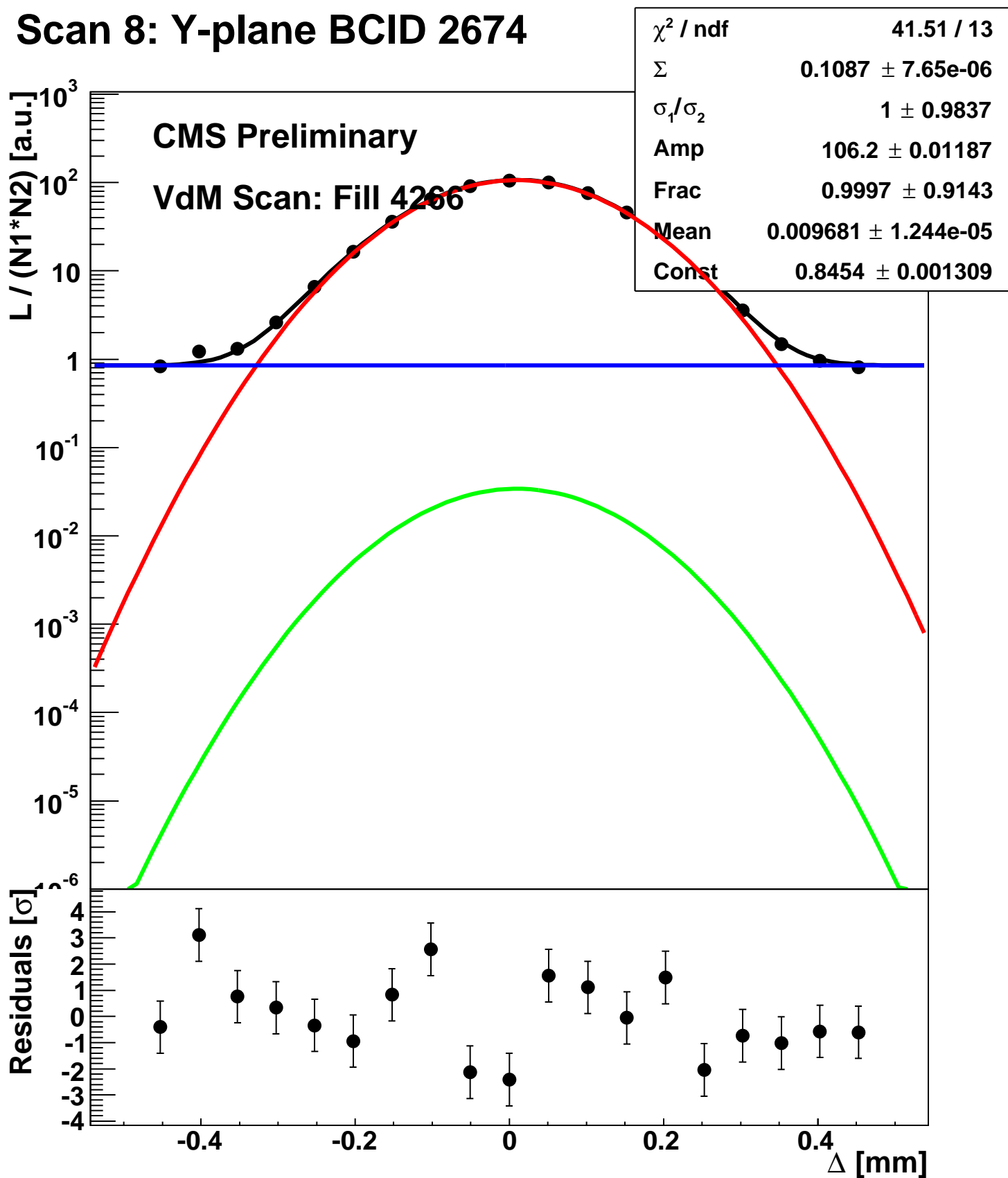
Scan 8: Y-plane BCID 1631



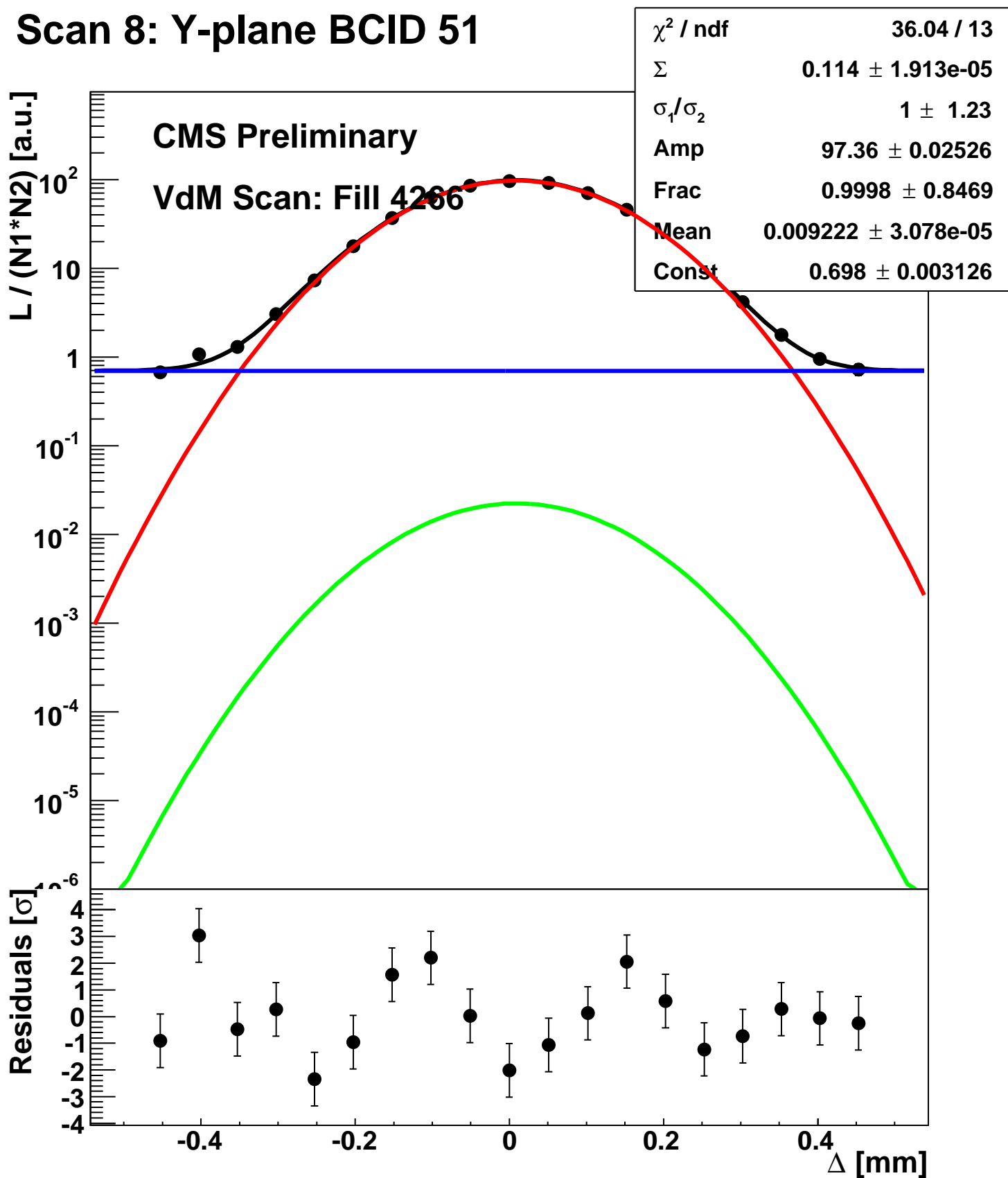
Scan 8: Y-plane BCID 2211



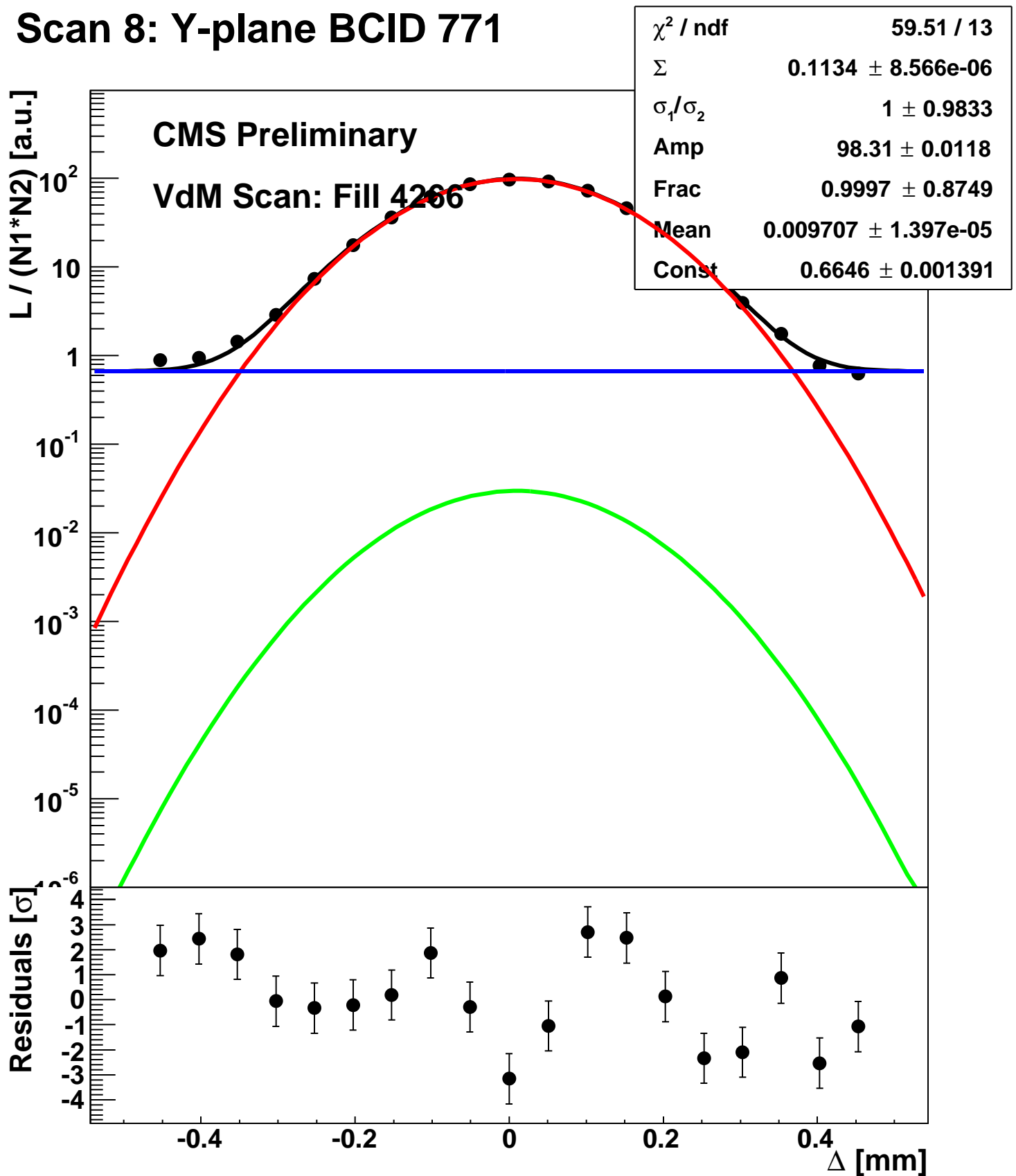
Scan 8: Y-plane BCID 2674



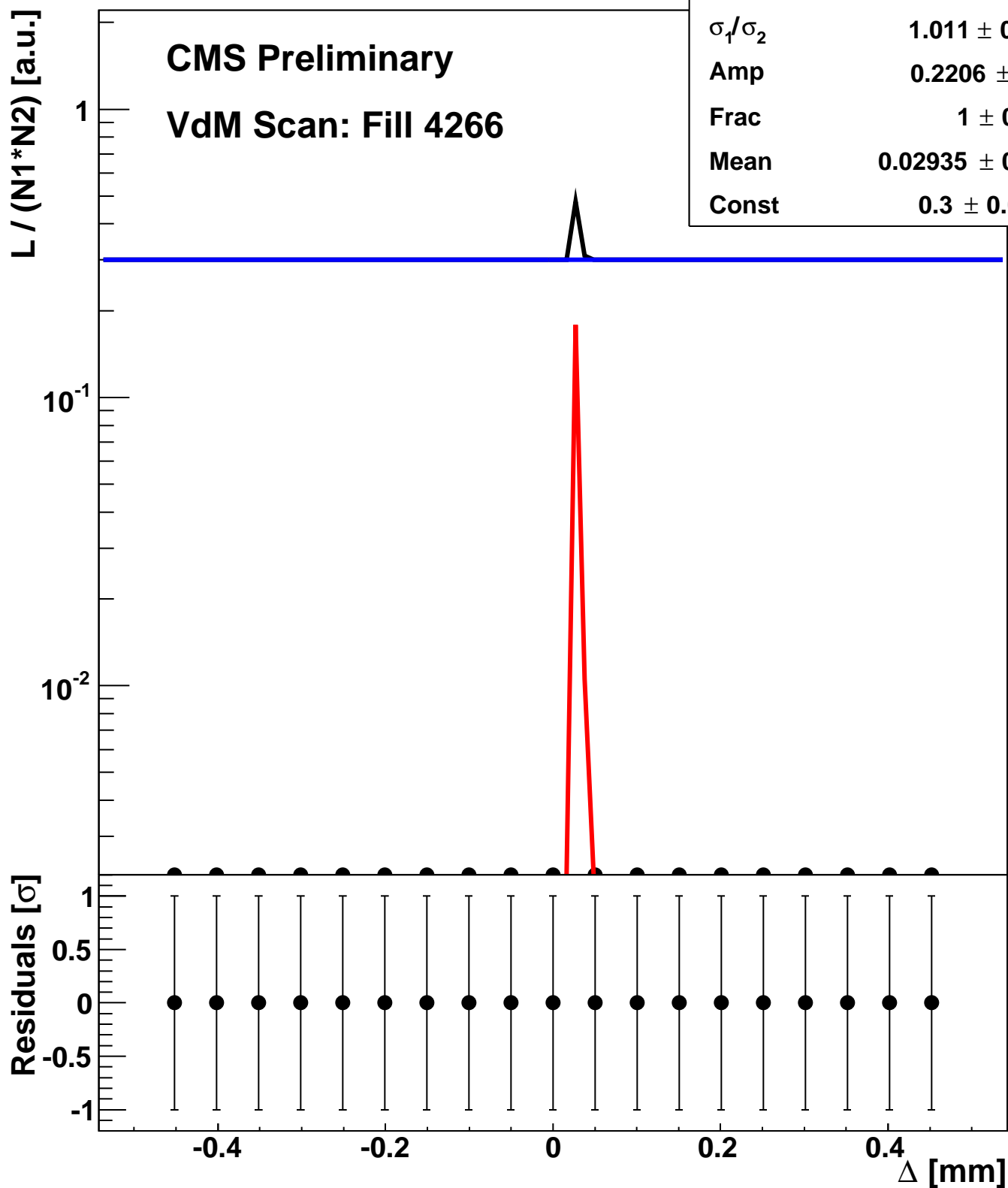
Scan 8: Y-plane BCID 51



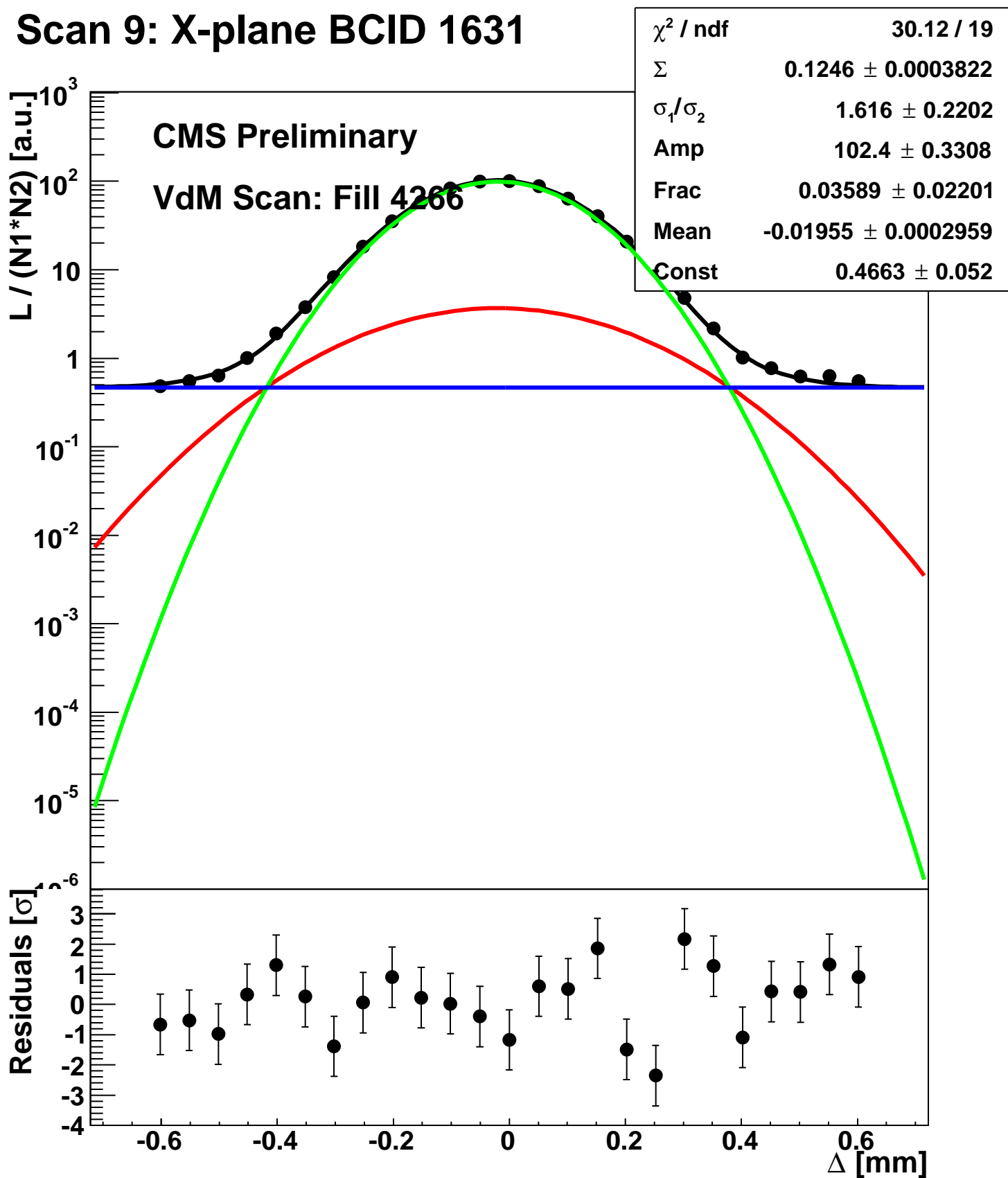
Scan 8: Y-plane BCID 771



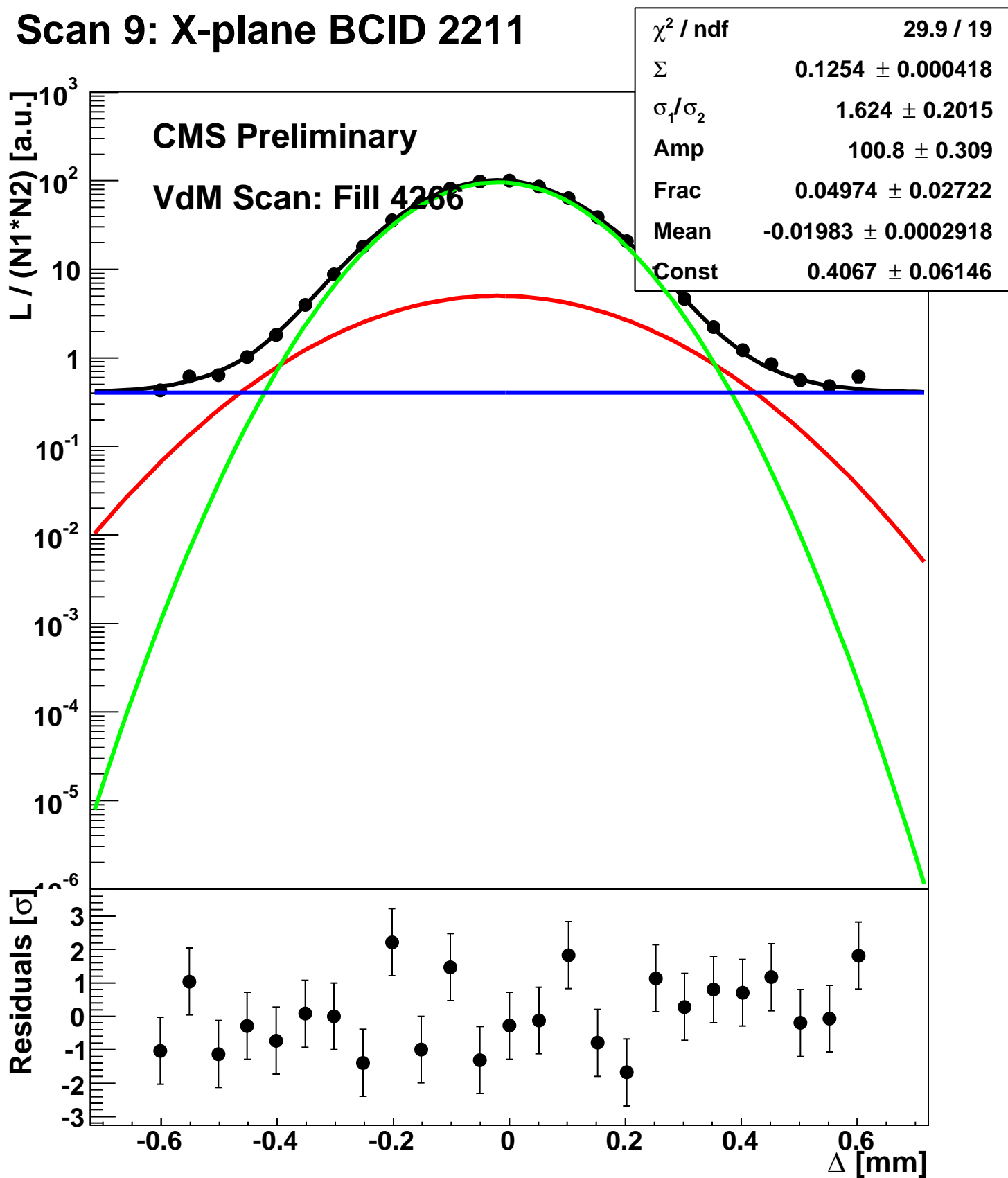
Scan 8: Y-plane BCID sum



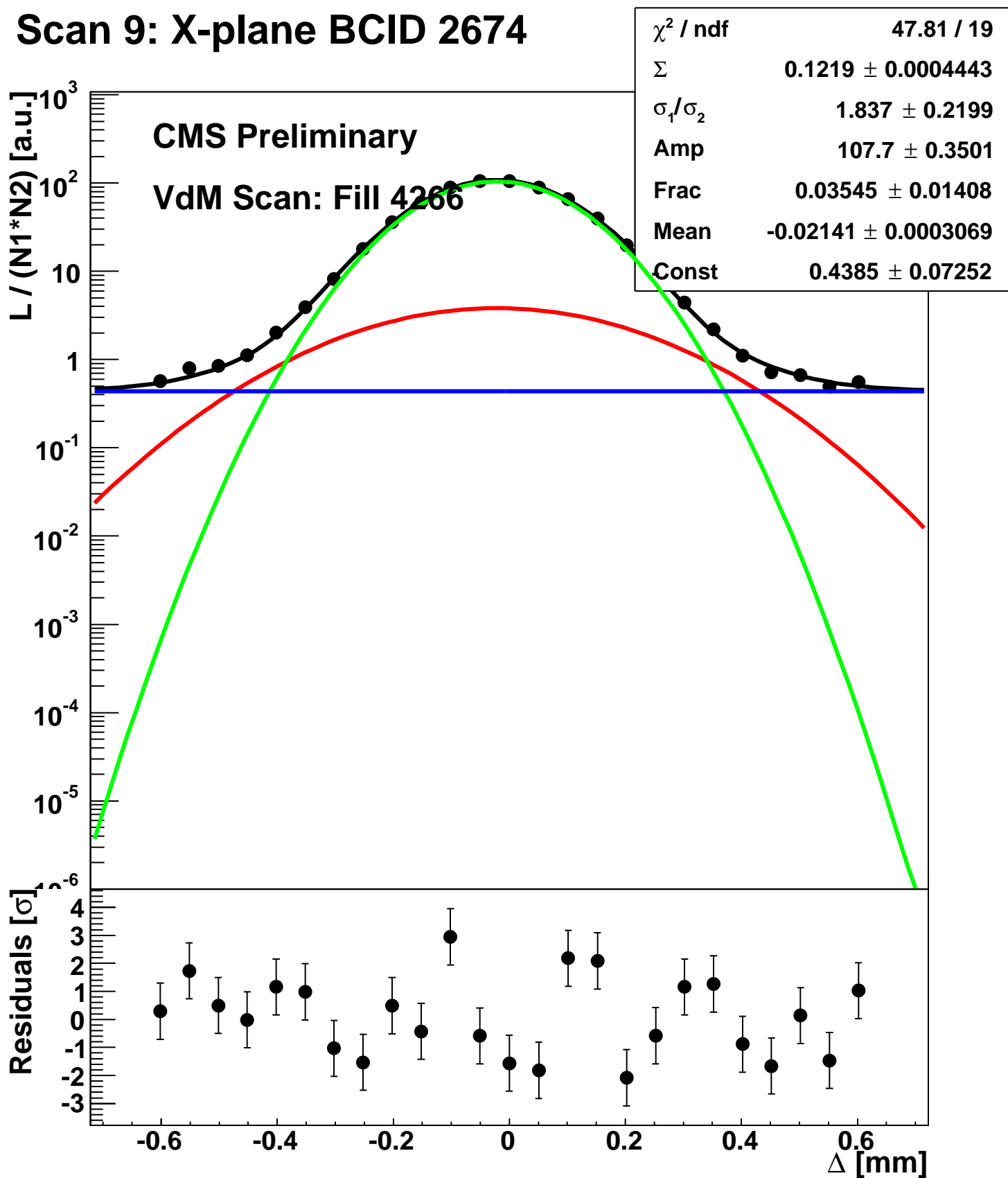
Scan 9: X-plane BCID 1631



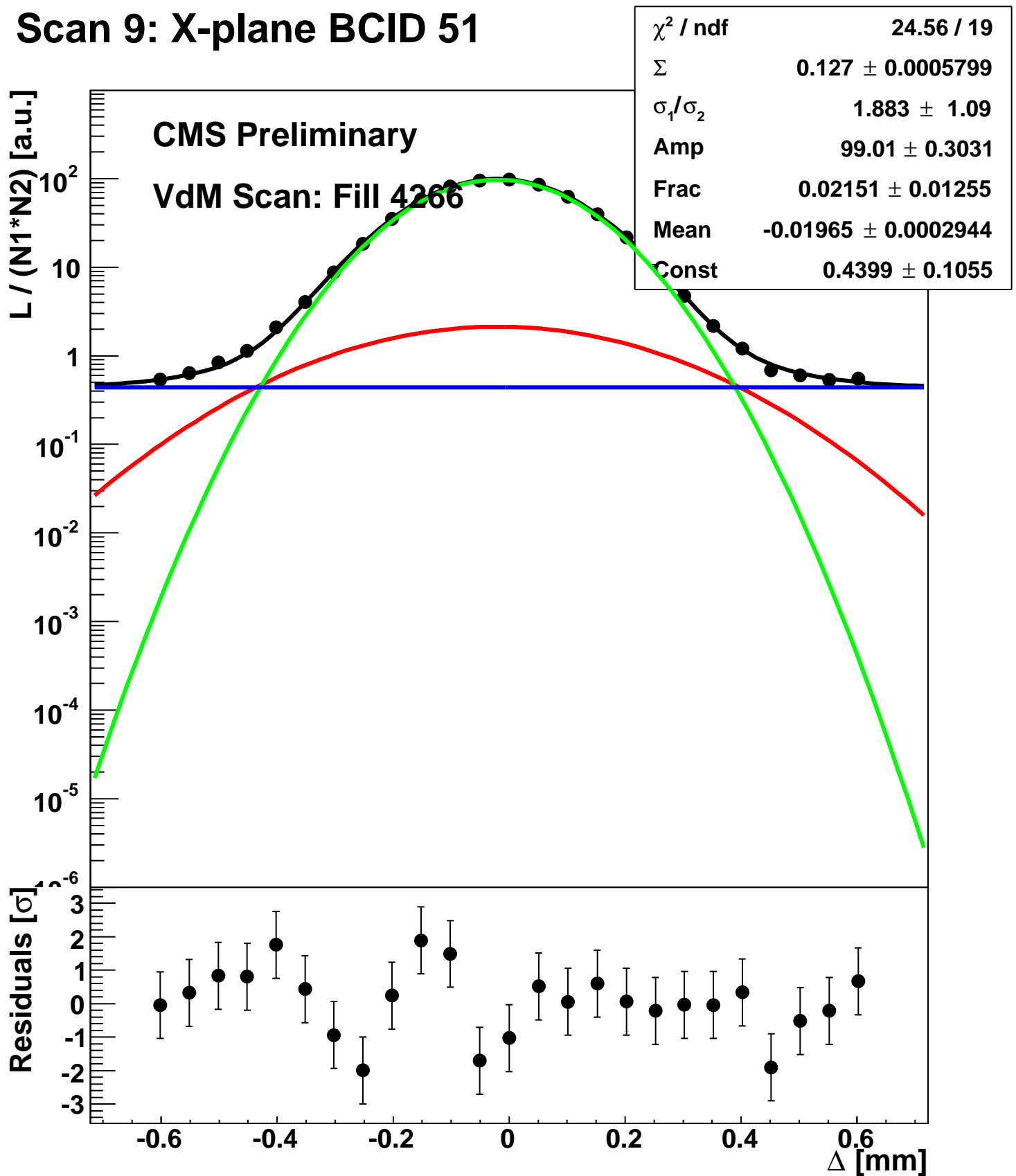
Scan 9: X-plane BCID 2211



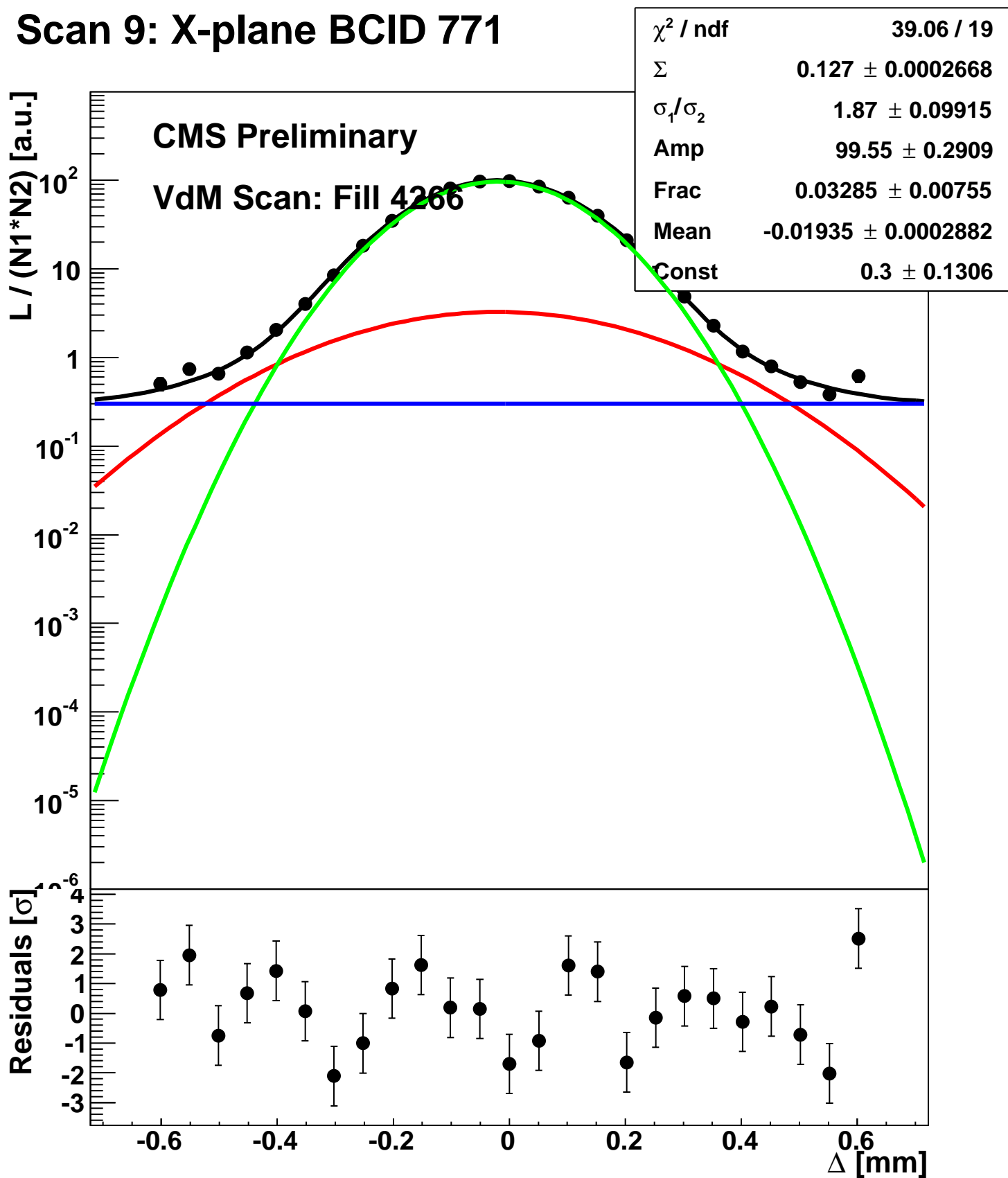
Scan 9: X-plane BCID 2674



Scan 9: X-plane BCID 51



Scan 9: X-plane BCID 771



Scan 9: X-plane BCID sum

